

2128

NINA Rapport

Overvåking av palsmyr

Tredje gjenanalyse i Gohteluoppal, Vest-Finnmark.
Endringer fra 2006 til 2021

Annika Hofgaard, Magni Olsen Kyrkjeeide & Heidi Elin Myklebost



NINAs publikasjoner

NINA Rapport

Dette er NINAs ordinære rapportering til oppdragsgiver etter gjennomført forsknings-, overvåkings- eller utredningsarbeid. I tillegg vil serien favne mye av instituttets øvrige rapportering, for eksempel fra seminarer og konferanser, resultater av eget forsknings- og utredningsarbeid og litteraturstudier. NINA Rapport kan også utgis på engelsk, som NINA Report.

NINA Temahefte

Heftene utarbeides etter behov og serien favner svært vidt; fra systematiske bestemmelsesnøkler til informasjon om viktige problemstillinger i samfunnet. Heftene har vanligvis en populærvitenskapelig form med vekt på illustrasjoner. NINA Temahefte kan også utgis på engelsk, som NINA Special Report.

NINA Fakta

Faktaarkene har som mål å gjøre NINAs forskningsresultater raskt og enkelt tilgjengelig for et større publikum. Faktaarkene gir en kort framstilling av noen av våre viktigste forskningstema.

Annen publisering

I tillegg til rapporteringen i NINAs egne serier publiserer instituttets ansatte en stor del av sine forskningsresultater i internasjonale vitenskapelige journaler og i populærfaglige bøker og tidsskrifter.

Overvåking av palsmyr

Tredje gjenanalyse i Gohteluoppal, Vest-Finnmark. Endringer fra 2006 til 2021

Annika Hofgaard
Magni Olsen Kyrkjeeide
Heidi Myklebost

Hofgaard, A., Kyrkjeide, M.O. & Myklebost, H.E. 2022.
Overvåking av palsmyr. Tredje gjenanalyse i Goahteluoppal, Vest-
Finnmark. Endringer fra 2006 til 2021. NINA Rapport 2128. Norsk
institutt for naturforskning.

Trondheim, april 2022

ISSN: 1504-3312

ISBN: 978-82-426-4916-4

RETTIGHETSHAVER

© Norsk institutt for naturforskning

Publikasjonen kan siteres fritt med kildeangivelse

TILGJENGELIGHET

Åpen

PUBLISERINGSTYPE

Digitalt dokument (pdf)

KVALITETSSIKRET AV

Dagmar Hagen

ANSVARLIG SIGNATUR

Forskningsjef Jørgen Rosvold (sign.)

OPPDRAUGSGIVER

Miljødirektoratet

OPPDRAUGSGIVERS REFERANSE

M-2274 | 2022

KONTAKTPERSON(ER) HOS OPPDRAGSGIVER/BIDRAGSYTER

Hanna Nyborg Støstad

FORSIDEBILDE

Palser med erosjonskanter mot omgivende dammer og våte
myrområder i sentrale deler av Goahteluoppal. © A.
Hofgaard/NINA

NØKKEWORD

Goahteluoppal, palsmyr, permafrost, overvåking, vegetasjon

KEY WORDS

Goahteluoppal, palsa peatlands, permafrost, monitoring,
vegetation, Dovre

KONTAKTOPPLYSNINGER

NINA hovedkontor
Postboks 5685 Torgarden
7485 Trondheim
Tlf: 73 80 14 00

NINA Oslo
Sognsveien 68
0855 Oslo
Tlf: 73 80 14 00

NINA Tromsø
Postboks 6606 Langnes
9296 Tromsø
Tlf: 77 75 04 00

NINA Lillehammer
Vormstuguvegen 40
2624 Lillehammer
Tlf: 73 80 14 00

NINA Bergen
Thormøhlens gate 55
5006 Bergen
Tlf: 73 80 14 00

www.nina.no

Sammendrag

Hofgaard, A., Kyrkjeeide, M.O. & Myklebost, H.E. 2022. Overvåking av palsmyr. Tredje gjenanalyse i Gohteluoppal, Vest-Finnmark. Endringer fra 2006 til 2021. NINA Rapport 2128. Norsk institutt for naturforskning.

Overvåking av palsmyr er et nasjonalt overvåkingsprogram initiert av Direktoratet for naturforvaltning (nåværende Miljødirektoratet), med oppstart i 2004. Programmet er utformet for å fange opp endringer i klimasensitive økosystemer, og omfatter i alt seks utvalgte overvåkingsområder fra Finnmark i nord til Dovre i sør. Områdene analyseres hvert femte år. I denne rapporten presenteres resultater fra gjenanalyser i Gohteluoppal i Vest-Finnmark, femten år etter første gangsundersøkelser i 2006. Dokumenterte endringer baseres på data fra 2006 og gjenanalyse 2011, 2016 og 2021. I tillegg presenteres resultater basert på sammenligninger av flybilder for perioden 1958 til 2021. Rapporten gir også en kortfattet bakgrunn for behovet for overvåking av palsmyr, relevante klimadata for Gohteluoppal og benyttede overvåkingsmetoder (analyser av palsformasjoner, markslagsfordeling, dybde til tele og vegetasjonsfordeling). I vedlegg gis en mer inngående beskrivelse av klimatiske forutsetninger og endring av palsmyrer i tid og rom.

Gohteluoppal er et ca. 15 km² stort myrområde med palsformasjoner spredt i store deler av området. Tre delområder innen området er brukt i overvåkingsstudien. Palsformasjoner, dammer og erosjonsområder ble analysert langs syv permanente analyselinjer i 2006, 2011 og 2021, med hensyn til palsstørrelse, dybde til tele og vegetasjon. I 2016 ble kun tre av linjene analysert grunnet høy vannstand på myrene. Registreringene danner grunnlaget for analyser av endringer over tid, sammen med fotodokumentasjon langs linjene og utvalgte palsformasjoner. Resultatene fra linjeanalysene er presentert i tabeller og figurer som visualiserer småskalafordelingen av markslag (7 variabler), bunnsjikt (6 variabler), feltsjikt (8 variabler), busksjikt (4 variabler), dybde til tele og palshøyde.

Overvåkingen viser både raske endringer og betydelig tregghet i palsmyrenes respons på endret klima. Flybilder fra 1958 viser omfattende utbredelse av store palser, men også tegn på allerede da pågående palsreduksjon som følge av klimaoppvarming før 1950-tallet. Mange av palsene fra 1958 eksisterer fortsatt, men størrelsen på palsene er betydelig redusert. Linjeanalysene viser at størrelsen på eldre palser og telens utbredelse er redusert med over 30 % i perioden 2006 til 2021. Det er ikke registrert noen nye palsformasjoner. Registreringer fra helikopter viste også en tydelig størrelsesreduksjon for palser innen områdetets våtere partier hvor linjeanalyser ikke er mulig. Tilbakegangen i palsformasjonernes størrelse skyldes først og fremst endringer i regionens klima over lang tid, men den registrerte variasjonen mellom år langs linjene skyldes også ulike værforhold mellom analyseårene. Ulike værforhold mellom år er i tillegg avgjørende for hastigheten og trenden i den langsiktige utviklingen. I tørrere deler av Gohteluoppal, som domineres av store palser, og der tilfeldig økning av permafrost kan motvirke den generelle tilbakegangen, vil palsmyrbiotopen sannsynligvis finnes i mange tiår fremover. Denne vurderingen tar imidlertid ikke hensyn til en eventuell generell endring av telenivå og vegetasjon på palsene, noe som vil kunne endre hastigheten til prosessen betraktelig. I perioden 2006 til 2021 er vegetasjonen på palsene karakterisert av et lavt busksjikt, økt frekvens av molte og krekling, og reduksjon av lavdominerte områder. Dette er vegetasjonsforhold som er lite gunstige for langsiktig overlevelse av eldre palser, fordi både høyere og mindre lysreflekterende vegetasjon har negativ påvirkning på telenivået. Neste analyse av området er planlagt i 2026.

Annika Hofgaard (annika.hofgaard@nina.no), Magni Olsen Kyrkjeeide og Heidi Elin Myklebost, NINA. Postboks 5685 Torgarden, 7485 Trondheim

Abstract

Hofgaard, A., Kyrkjeeide, M.O. & Myklebost, H.E. 2022. Monitoring of palsa peatlands. Third re-analysis at Gohteluoppal, Vest-Finnmark. Changes from 2006 to 2021. NINA Report 2128. Norwegian Institute for Nature Research.

The monitoring of palsa peatlands is a national monitoring project initiated by the Norwegian Directorate for Nature Management (current Norwegian Environment Agency) in 2004. The project is designed to reveal changes in climate-sensitive ecosystems and includes six selected monitoring areas from the Troms and Finnmark County in the north of Norway to the Dovre region in the south. This report presents the results from the third reanalyses fifteen years after the initial investigations at Gohteluoppal in Vest-Finnmark in 2006. Documented changes are based on data from 2006 and reanalyses in 2011, 2016 and 2021. In addition, the presentation includes comparisons based on air photos from the period 1958 to 2021. The report also presents a short background to the need for palsa peatland monitoring, climate data relevant to the Gohteluoppal area, and monitoring methods (analyses of palsa formations, distribution of land cover types, ground frost and vegetation). Details for climatic requirements and spatiotemporal changes of palsa peatlands are given in an appendix.

Gohteluoppal is a ca. 15 km² peatland area with scattered palsa formations over large parts of the area. Three sub-areas are used in the monitoring study. Palsa formations, thermokarst ponds and erosion areas were analysed along seven permanent sampling lines in 2006, 2011 and 2021, with respect to palsa size, thaw depth and vegetation. In 2016 only three of the lines were accessed and analysed due to high water levels on the mires. The line-recordings form together with photos along the lines and of selected palsa formations, the basis for analyses of temporal and spatial changes. Results from the line-analyses are presented in tables and figures visualising small scale distribution of land cover types (7 variables), bottom layer (6 variables), field layer (8 variables), shrub layer (4 variables), thaw depth, and palsa height above surrounding mire areas.

The monitoring shows both rapid changes in the permafrost distribution, but also considerable inertia in palsa peatland response to climate changes. Air photos from 1958 show widespread distribution of large palsas, but also signs of decaying palsas due to climate warming before the 1950s. Many of the palsas present in 1958 still exist, but their size is markedly reduced. Recordings from helicopter in the period 2006 to 2021 showed relatively extensive reduction of dominating palsas in the wetter sections of the area, where line analyses are not possible. Line-analyses in less wet mire areas show a relatively slower decrease in both the size of palsas and in permafrost distribution. However, this reduction accounted for more than 30 % of the 2006 values. No new palsa formations have been recorded. The decline in palsa formations is primarily related to long-term regional climate changes. However, recorded variation among years is in addition related to weather differences between individual sample years, and thus vital to the rate and trend in the long-term development. In less wet mire parts, which are dominated of large palsas and where occasional increase in permafrost bodies may counteract the dominating recession process, the palsa biotope will most likely remain for many decades. However, this assessment does not consider any general change of thaw depth and/or vegetation structure, which could speed up the process considerably. In the period 2006 to 2021, the vegetation on the palsas is characterized by presence of a low shrub layer, increased frequency of cloudberry and crowberry, and reduction of lichen dominated areas. These vegetation characteristics and changes are unfavourable for long-term survival of old palsas, because both taller and less reflective vegetation have negative impact on ground frost formation and thaw depth. The next analysis of the area is scheduled to 2026.

Annika Hofgaard (annika.hofgaard@nina.no), Magni Olsen Kyrkjeeide and Heidi Elin Myklebost, NINA. PO Box 5685 Torgarden, NO-7485 Trondheim, Norway

Innhold

Sammendrag	3
Abstract	4
Innhold	5
Forord	7
1 Innledning	8
2 Overvåkingsprogrammets design	11
2.1 Overvåkingsområder.....	11
2.2 Metoder.....	12
2.2.1 Analysefrekvens.....	12
2.2.2 Linjeanalyser.....	12
2.2.3 Fotodokumentasjon.....	13
2.2.4 GPS-registreringer.....	14
2.2.5 Flybilder.....	14
3 Områdedata - Gohteluoppal	15
3.1 Områdebeskrivelse.....	15
3.2 Klimadata.....	16
3.2.1 Lufttemperatur.....	16
3.2.2 Nedbør.....	18
3.2.3 Snødybde.....	18
3.3 Fly og satellittbilder.....	20
3.4 Innsamling av data og status ved starten for overvåkingen i 2006.....	20
3.4.1 Områder og palsformasjoner.....	20
3.4.2 Analyselinjer.....	22
3.4.3 Sprekkfrekvens.....	23
3.4.4 Artfrekvens.....	23
3.5 Datainnsamlingsperiode.....	24
4 Resultat	25
4.1 Palsformasjoner.....	25
4.1.1 Endringer siden 1950-tallet.....	25
4.1.2 Endringer i overvåkingsperioden 2006 til 2021.....	27
4.2 Linjeanalyser.....	30
4.2.1 Tele og markslag.....	30
4.2.2 Sprekkfrekvens.....	31
4.2.3 Artsfrekvens.....	34
4.3 Menneskelig påvirkning.....	37
5 Diskusjon	38
6 Tidsplan	40
7 Referanser	41
7.1 Rapporter fra overvåkingsprogrammet.....	41
7.2 Annen sitert litteratur.....	42
8 Vedlegg 1: Klimatiske forutsetninger og endring av palsmyrer i tid og rom	44
8.1 Sammensättning och struktur.....	44
8.2 Utbredning och klimatiska förutsättningar.....	45

8.3	Palsmyrdynamik	47
8.3.1	Temporala förändringar	47
8.3.2	Rumsliga förändringar	49
8.4	Referanser til Vedlegg 1	50

Forord

Overvåking av palsmyr er et nasjonalt overvåkingsprogram som finansieres av Miljødirektoratet (tidligere Direktoratet for naturforvaltning, DN) og som ble initiert av DN i 2002/2003 med oppstart i 2004. Norsk institutt for naturforskning (NINA) har det faglige og praktiske ansvaret for overvåkingen og for analyser av innsamlede data og rapportering. Denne rapporten er den fjerde statusrapporten fra Goahteluoppal i Vest-Finnmark, med resultater fra gjenanalysen i 2021, femten år etter førstegangsanalysen i 2006 (Hofgaard 2007). Foregående statusrapporter har omfattet periodene 2006 til 2011 (Hofgaard & Myklebost 2012) og 2006 til 2016 (Hofgaard & Myklebost 2017).

Rapporten sammenstiller og diskuterer endringer for hele overvåkingsperioden 2006 til 2021. I tillegg gir rapporten en kortfattet bakgrunn for valg av metoder, områder med palsformasjoner og plassering av analyselinjer for palsstruktur, markslagsfordeling, dybdeavstand til tele og vegetasjonsfordeling. I et vedlegg til rapporten gis detaljer for klimatiske forutsetninger og endring av palsmyrer i tid og rom. Rapportens fotografier er tatt av førsteforfatteren.

Vitenskapelig begrunnelse for prosjektet og nasjonale og internasjonale behov for overvåking av palsmyrutvikling er presentert i rapportene 'Effects of climate change on the distribution and development of palsa peatlands: background and suggestions for a national monitoring project' (Hofgaard 2003) og 'Etablering av overvåkingsprosjekt på palsmyrer' (Hofgaard 2004). Noe av innholdet i disse rapportene er gjengitt i denne rapporten, for at den enklere skal kunne leses som et selvstendig dokument. For mer fullstendig informasjon om begrunnelse og prosjektdesign, henvises det til ovenfor nevnte rapporter.

En vitenskapelig referansegruppe var tilknyttet overvåkingsprogrammet i oppstartsfasen, med deltagende forskere fra et bredt spekter fra norske universiteter og forskningsinstitutter (se Hofgaard 2003).

Takk til Miljødirektoratet og kolleger på NINA for kommentarer og nyttige diskusjoner under arbeidet med prosjektets ulike faser.

Trondheim, april 2022

Annika Hofgaard

1 Innledning

Palsmyrer er subarktiske myrkomplekser med permanent frosne torvhauger (palser). Disse myrkompleksene er karakteristiske og unike trekk på høye, nordlige breddegrader i deler av Fennoskandia, Russland, Canada og Alaska, hvor diskontinuerlig permafrost karakteriserer store områder. I senere tid har permafrost- og palssystemer i hele det sirkumpolare utbredelsesområdet vært karakterisert av degenerering, men hastigheten i denne trenden er høyst usikker og variabel (Payette et al. 2004, Fronzek et al. 2009, Sannel 2010, Sannel & Kuhry 2011, Baltzer et al. 2014, Beck et al. 2015, Jones et al. 2017, Biskaborn et al. 2019). Forventet økt global oppvarming spesielt på høye nordlige breddegrader har økt behovet for overvåkingsprogrammer som er designet for å spore endringer i sensitive økosystemer og edafiske og biotiske strukturer som de er avhengige av (IPCC 2001, 2007, ACIA 2005).

Palsmyrer omfatter både sensitive edafiske strukturer og sensitive biotiske samfunn. Den romlige og tidsmessige fordelingen av palser er avhengig av lokale og regionale klimafaktorer, og hvordan disse forandrer seg over tiår og århundrer (Farbrot et al. 2013, Sannel et al. 2015). Det antas at ytterligere klimaoppvarming (forbundet med eller uten nedbørsøkning) vil resultere i degenerering av de fleste palsområdene i de mest marginale områdene i løpet av noen få tiår (Sollid & Sørbel 1998, Christensen et al. 2004, Luoto et al. 2004, Payette et al. 2004, Fronzek et al. 2009, Sannel 2010, Biskaborn et al. 2019). Økosystemene langs middelårsisotermer for 0 °C er sannsynligvis de som er mest sårbare for klimaendringer, og myrområder i disse regionene har betydelig utveksling av drivhusgassene metan og karbondioksid med atmosfæren (Fronzek et al. 2009, Jones et al. 2017). Mengden karbon som er lagret i permafrosten, og som avgis til atmosfæren når palsmyrene tiner, styres av hvor lenge karbonakkumulasjonen har pågått. Karbon akkumuleres kontinuerlig i myrene, men det kan ta flere århundrer til årtusener for å gjenopprette den karbonmengden som fantes i myrene før permafrosten tinte (Jones et al. 2017).

De klimatiske mest sårbare palsmyrområdene er også svært sårbare for menneskelige aktiviteter som påvirker de hydrologiske forholdene, torvoverflaten eller vegetasjonsstrukturen i myrområdene. Økt klimatisk marginalisering gjør at også beskjeden menneskelig påvirkning kan virke destabiliserende. Dette kan sette langsiktig overlevelse av arter med preferanse for det spesielle palsmyrmiljøet på spill, både lokalt og regionalt.

Unike trekk ved palsmyrer er at de er svært dynamiske over tid, med et heterogent miljø grunnet vekst og forfall av palser (Seppälä 1986, Luoto & Seppälä 2003). Foruten de unike myrkomponentene representerer palsmyrene sensitive heterogene biologiske systemer med distinkte økosystemtjenester som er avhengige av at myras struktur og dynamikk er opprettholdt (Markkula et al. 2019). De er lokalt svært viktige områder for bærplukking (i hovedsak molte), samtidig som de er viktige hekkeområder for en artsrik fuglefauna og som rasteplasser for trekende fugl. Fra et naturmangfoldssynspunkt er det kritisk at det gradvise tapet av de unike palsmyrhabitatene er en enveisprosess. Disse habitatene vil ikke bli erstattet i et fremtidig varmere klima. I naturtypebevaringssammenheng er palsområder høyt verdsatt i Europa som en av 65 prioriterte naturlige habitattyper i Annex I av EU-direktivet "The Habitats Directive" (2007), og ble vurdert som sterkt truet (EN) i Norge i 2018 (Øien et al. 2018)

Palsmyrer forekommer først og fremst i grenseområdene mellom de arktiske og boreale regionene, men også mellom de alpine og boreale regionene (Luoto & Seppälä 2002). Palsene, som er torvdekte hauger skapt av permafrost, reiser seg karakteristisk over den omkringliggende myroverflaten. Palsenes høyde varierer fra under en meter til flere meter og kan ha en overflatedekning på mange tusen kvadratmeter, hvor de større utgjør palsplatåer (Laberge & Payette 1995, Sollid & Sørbel 1998). I tillegg til palser og palsplatåer karakteriseres palsmyrer av en mosaikk av ulike markslag: torvmark uten permafrost, våte starr- og myrullområder (*Carex* spp., *Eriophorum* spp.), dammer dannet av tidligere palser som har falt sammen, torvringer rundt disse dammene, erosjonsområder og midlertidige eller nye permafrostformasjoner som kun hever seg noen få desimeter over myroverflatens nivå. Tilsammen utgjør disse terrengformasjonene og myrkomponentene palsmyrsystemer som er svært dynamiske over tid som følge av nydannelse,

vekst og nedbrytning av palsene. Fordelingen av palsmyrkomponentene påvirker myrenes vegetasjonsstruktur, for eksempel gjennom innflytelse på hydrologiske faktorer og vind-eksponering. Samtidig virker vegetasjonsstrukturen inn på fordelingen av permafrost gjennom innflytelse på snøfordeling, fuktighet og jordtemperatur. Dette gjør at fordelingen av tre-, busk-, urte-, gress-, mose- og lavdominert vegetasjon varierer på en mosaikkartet måte på myrene. Denne variasjonsbredden i det abiotiske og biotiske miljøet har avgjørende betydning for palsmyrøkosystemenes struktur og funksjon i tid og rom.

I tillegg til torvpalser, finnes også mineralpalser med høyt innhold av uorganisk materiale. Mineralpalserne er mer sjeldne, men ligner i form og dynamikk på torvpalsene. De karakteriseres av sandhauger som er vegetasjonsfrie eller har et tynt mose- eller lavdekke. I likhet med torvpalsene er disse sandhaugene formet av permafrost og reiser seg over omgivelsene. I tillegg forekommer mellomformer mellom torvdominerte og mineraldominerte palser. Gohteluoppal, som omhandles i denne rapporten, er karakterisert av torvpalser i sene utviklingsstadier (**Figur 1-4**), men mellomformer finnes selv om disse er svært sjeldne. Detaljer for palsoppbygging og forutsetninger for palsvekst og palsnedbrytning er presentert i **Vedlegg 1**.



Figur 1. En mosaikk av torvmark med og uten permafrost, våte starr- og myrullområder og dammer etter tidligere palsformasjoner karakteriserer palsmyrene nord for Gohteluoppal Fjellstue.

Foto: A. Hofgaard. © NINA 2022.



Figur 2. Palsplatå med dam. Nær starten av linje A. Foto: A. Hofgaard. © NINA 2022.



Figur 3. Del av en større pals som hever seg ca. to meter over myroverflaten. Nær slutten av linje A. Foto: A. Hofgaard. © NINA 2022.



Figur 4. Pals med bruddkant og et vinderosjonsområde på den mest vindutsatte siden (linje D, se kapittel 4.2).
Foto: A. Hofgaard. © NINA 2022.

I Norge forekommer palsformasjoner i myr hovedsakelig innen to regioner, en i sør og en i nord (Sollid & Sørbel 1998, Gisnås et al. 2017). Regionen i sør er mer eller mindre helt avgrenset til Dovreområdet, mens regionen i nord er mer utstrakt og dekker deler av indre Troms og store deler av Finnmark, unntatt kystnære områder. Den kontinentale eller lokalkontinentale klimatyppen som er rådende i disse regionene, er en forutsetning for utvikling og overlevelse av palser i det relativt varme og fuktige klimaområdet som Skandinavia tilhører (se **Vedlegg 1**).

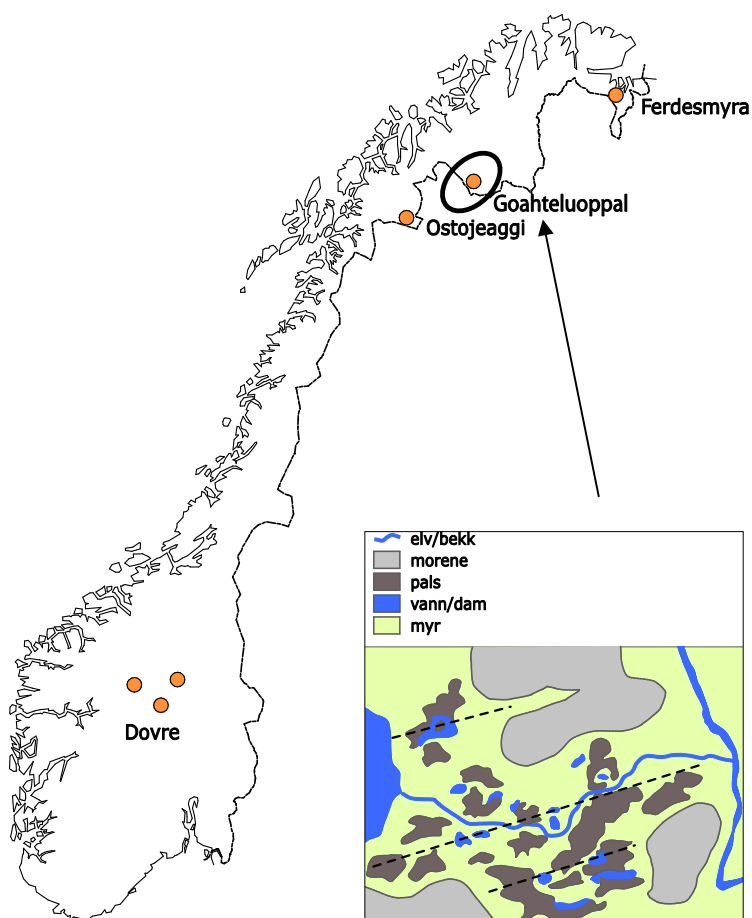
Skandinavias klima styres i hovedsak av transporten av luftmasser fra Atlanterhavet. Klimaendringer som påvirker den regionale eller lokale innflytelsen av disse luftmassene, det vil si graden av oseanitet, vil ha innflytelse på palsmyrenes utbredelse og struktur. Følgelig vil palsmyrenes økologiske betydning på landskaps- og økosystemnivå også bli påvirket. I løpet av siste del av 1900-tallet og begynnelsen av 2000-tallet har naturtypen vist en sterk tilbakegang, selv om noe nyutvikling av palsformasjoner har forekommet (Hofgaard 2005, 2008, Hofgaard & Wilmann 2011). Dette har økt behovet for en hensiktsmessig og metodisk overvåking.

2 Overvåkingsprogrammets design

2.1 Overvåkingsområder

Seks hovedområder inngår i overvåkingsprogrammet: Ferdesmyra og Gohteluoppal i Finnmark, Ostojeaggi i Troms, og Haukskardmyrin, Haugtjørnin og Leirpullan i Dovre-området (**Figur 5**). Områdene er valgt for å representere dominerende geografiske og klimatiske miljøgradienter i Norge. Hovedgradienten følger den avtakende innflytelsen av atlantiske luftmasser og den økende innflytelsen av arktiske luftmasser, fra sør til nord. Denne gradienten dekker den sørlige utbredelsesgrensen for sporadisk og fragmentert forekomst av permafrost i Skandinavia, og samtidig den vestlige utbredelsesgrensen av den nord-eurasiske permafrostregionen. Områdene i sør representerer i tillegg en høydegradient, der Leirpullan som er et mineralpalsområde, er valgt for å øke høydegradienten. Områdene i nord representerer en vest-østgradient. I regionen mellom det sørlige og nordlige utbredelsesområdet for palsmyrer forekommer det palser på noen få steder i Norge, men ingen av disse lokalitetene er inkludert i overvåkingsprogrammet.

I hvert overvåkingsområde er det valgt ut delområder for detaljerte overvåkingsstudier. Grunnet forskjeller i størrelse mellom områdene (fra ca. 0,1 til 15 km²) er andelen av myrområdene som omfattes av overvåkingen ulike. De mindre områdene inngår mer eller mindre i sin helhet, mens tilgjengelighet og representativitet har vært avgjørende for valg av delområder på de større palsmyrene. Permanente analyselinjer er plassert i de utvalgte delområdene, og linjenes lengde og antall er tilpasset delområdenes størrelse og palsformasjonenes karakter og omfang.



Figur 5. Studiedesign med utvalgte overvåkingsområder i Sør- og Nord-Norge. Området som er presentert i denne rapporten, er markert med en oval. Det innfelte kartet viser eksempel på palsområde med analyselinjer for innsamling av abiotisk og biotisk datamateriale. © NINA 2022.

2.2 Metoder

2.2.1 Analysefrekvens

Overvåkingen er basert på gjenanalyser hvert femte år, der ett område er analysert per år. I løpet av overvåkingens første fem år (2004-2008) ble alle de utvalgte overvåkingsområdene (se **Figur 5**) analysert en gang (førstegangsundersøkelser). I neste femårsperiode (2009-2013) ble første gjenanalyse utført i alle områder. I løpet av femårsperioden 2014-2018 ble andre gjenanalyse utført i alle områder, og perioden 2019-2023 inkluderer tredje gjenanalyse i alle områder. Detaljer for hvilke områder som analyseres hvilke år, er presentert i slutten av rapporten (se Tidsplan, kapittel 6).

2.2.2 Linjeanalyser

Linjeanalysene er designet for å fange opp variasjoner og endringer i palsstruktur, dominerende vegetasjon, frekvensen av ulike markslag og tele/permafrost i utvalgte områder. Dette gjøres ved hjelp av permanente linjer med detaljregistreringer i syv variabelkategorier: markslag, bunn-sjikt, feltsjikt, busksjikt, dybde til tele, palshøyde og torvsprekker (se **Tabell 1** for beskrivelse av kategoriene). Lengden av hver linje bestemmes av palsformasjonenes størrelse og frekvensen av ulike markslag i de enkelte palsområdene. Registreringsfrekvensen langs linjene er 1 meter, det vil si at for hver meter registreres verdier for hver kategori og dominerende variabel innen hver kategori. Fordi registreringsarbeidet er relativt tidkrevende, er metodene utarbeidet slik at linjeanalysene kan gjøres med to ulike intensiteter: detaljlinjer der alle variabler registreres, og generelle linjer der kun markslag, dominerende vegetasjon og torvsprekker registreres. Ved bruk av begge intensitetsnivåene bør minst en tredjedel av den totale linjelengden analyseres detaljert. Ettersom vegetasjonen i hvert markslag og dominerende vegetasjonskategori er relativt homogen, kan de innsamlede dataene fra de to intensitetsnivåene sammenlignes og sammenstilles. Dette utgjør dermed et samlet grunnlag for analyse av endringer over tid. For områdene i Goahteluoppal er alle linjer analysert som detaljlinjer.

For torvsprekker registreres antall sprekker og sprekkbredde langs alle linjene (se **Tabell 1**). I partier med aktiv og sterk degenerering, som for eksempel bruddkanter, er det vanskelig eller umulig å definere de enkelte sprekker og bredder. Derfor er bruddkantpartier angitt med total lengde langs linjene og inngår ikke i beregningen av antall sprekker per meter. Dette gjør at de to tallene må ses i sammenheng for at frekvensen av partier med sannsynlig endring ikke undervurderes. Ved bruk av sprekker som variabel for sammenligning over tid, må man være klar over at variabelverdien til dels er avhengig av fuktigheten i torven ved analysetidspunktet. Antallet sprekker vil ikke forandres mye med fuktigheten, men bredden til enkelte sprekker vil kunne variere noe.

I tillegg til analyser langs de permanente palsstrukturlinjene er vegetasjonens artssammensetning analysert langs tilfeldig plasserte artslinjer innen utvalgte delområder. Linjene representerer vegetasjonen på palsoverflaten i delområdene, men ikke delområdet i sin helhet. Artslinjedataene er et grunnlagssupplement til de relativt grove analysene langs de lange palsstrukturlinjene. Artslinjene er fem meter lange og registrering gjøres ved hjelp av en punktfrekvensmetode tilpasset linjeanalyser. Første vertikale punkttreff (punktbredde er 1 millimeter) av tilstedeværende arter/variabler registreres for hver tiende centimeter langs linjene, dvs. 50 verdier per artslinje. I tillegg er dominerende vegetasjon (se **Tabell 1**) registrert for hver meter. Det er brukt de samme variablene som langs de femti meter lange analyselinjene, men variabelen *lyng* er delt opp og registrert til art. Navnsetting følger Lid et al. (2005).

Tabell 1. Variabler som er registrert ved linjeanalysene samt forkortelser som er brukt i feltprotokollene. © NINA 2022.

markslag	lagg	vannsamling rundt eller langs palskanter, ev. dekket av torvmose og myrull
	mf	"myrflate" - myrens 0 m-nivå, nivå for dammer og bløtmyr
	np	nye palsdannelser / islinser i bløtmyr, vises ved nylig død vegetasjon
	p	pals
	pp	palsplatå
	pr	palsring
	t	"tue" – torvhaug uten permafrost
	d	dam
	pøl	grunn pøl på palsoverflaten (fast bunn)
	bk	bruddkant; erosjonskant med torvblokker delvis eller helt uten vegetasjon
bunnsjikt	dt	død torv - sorte områder uten vegetasjon
	lav	kollektivt for lav
	mo	mose - alt utenom torvmose
	sph	kollektivt for torvmose (<i>Sphagnum</i> spp.)
	st	strø
	va	vann
feltsjikt	cx	kollektivt for starr (<i>Carex</i> spp.)
	ull	kollektivt for alle myrullarter (<i>Eriophorum</i> spp.)
	hj	molte (<i>Rubus chamaemorus</i>)
	ris	lyng - kollektivt for bærlyngarter (<i>Vaccinium</i> spp) og krebling (<i>Empetrum nigrum</i>)
	ros	kvitlyng (<i>Andromeda polifolia</i>)
	men	bukkeblad (<i>Menyanthes trifoliata</i>)
	kråk	myrhatt (<i>Potentilla palustris</i>)
	gras	kollektivt for gras
busksjikt	bna	dvergbjørk (<i>Betula nana</i>)
	skv	finnmarkspors (<i>Rhododendron tomentosum</i>)
	sa	kollektivt for vier (<i>Salix</i> spp.)
	()	arten forekommer men er ikke dominerende som busksjikt
teledybde	150	målt i cm fra overflaten til tele, en målning per meter
	"150"	usikkert om det er tele eller sediment
	150+	tele ikke nådd på målt dybde
torvsprekker	s	angis i antall og bredde
høyde	60	angis i cm over myrens 0-nivå

2.2.3 Fotodokumentasjon

Palsstrukturlinjene er fotodokumentert for å visualisere både innsamlede data og endringer over tid. Dokumentasjonen er gjort i linjenes retning, ved start, slutt og ved hver femtiende meter langs linjene. Metodikken er valgt for å gjøre gjenfotografering ved neste gangs analyse lettere. I tillegg er enkelte fotopunkter valgt ut for å representere ulike utviklingsstadier innen paiser og

palsplatåer, som for eksempel erosjonskanter, dammer og kortvarige palsformasjoner. Artslinjene er ikke fotodokumentert.

2.2.4 GPS-registreringer

Linjene (start og slutt punkt) og palsene er GPS-registrert (UTM: WGS 84 sone 32W) for å gjøre det lettere å gjenopprette linjer og analyseposisjoner ved gjenanalyser. Posisjon for de ulike linjene er også brukt ved analyser av flybilder. Artslinjene er tilfeldig utvalgt for hver gjenanalyse og er derfor ikke GPS-registrert.

2.2.5 Flybilder

Flybilder brukes i analyser av storskalaendringer i palsmyrenes struktur, dvs. frekvensen av ulike markslagskomponenter (se **Tabell 1**). Flybilder og informasjon om tilgjengelige bilder er hentet fra Norge i bilder (www.norgebilder.no) og Kartverket som har ansvaret for og forvalter det nasjonale sentralarkivet for flybilder. Flere av overvåkingsområdene (**Figur 5**) mangler nyere flybilder, og det eldre flybildematerialets kvalitet varierer sterkt mellom tidsperioder. Dette er begrensende for detaljerte tidsanalyser av palsmyrenes endringer, men utgjør et bra grunnlag for grovskala-analyser av både endringer før overvåkingsprogrammet startet og av større deler av de valgte palsmyrene.

3 Områdedata - Gohteluoppal

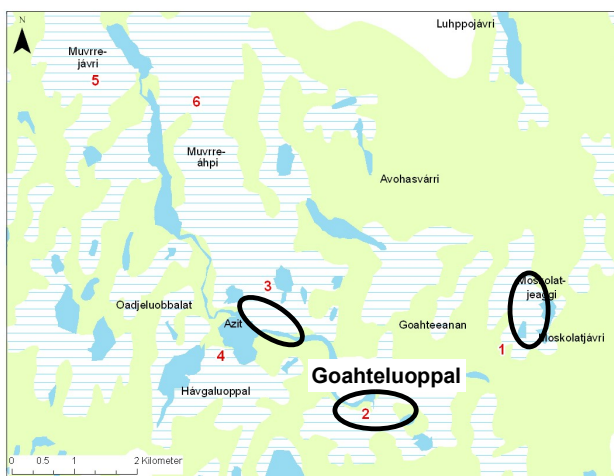
3.1 Områdebeskrivelse

Gohteluoppal er et stort myrområde ca. 30 km sørvest for Kautokeino i Vest-Finnmark (**Figur 6**). Området inkluderer et stort antall myrsystemer, store og små vann, dammer og bekker. Området har et kontinentalt klima med en årsmiddeltemperatur på ca. -2.5°C og en årsnedbør på ca. 380 mm (Moen 1999). Omtrent halvparten av nedbøren kommer i løpet av sommeren og kun ca. 70 mm i perioden desember–mars. Området er dekket av snø cirka 200 dager i året og vegetasjonsperioden er ca. 110-120 dager (Moen 1999). Detaljerte data om området og dens myr- og vegetasjonstyper er publisert i en rapport fra Tromsø museum (Granmo 1988). I rapporten er Gohteluoppal-området oppdelt i seks områder (**Figur 7**) med individuelle beskrivelser som inkluderer informasjon om palsforekomst, myrstruktur og vegetasjon.

Store deler av området er relativt utilgjengelig. Dette gjelder spesielt for områdene nord for Gohteluoppal Fjellstue (mesteparten av område 3 og områdene 5 og 6 i Granmo 1988) som karakteriseres av våte myrområder med fragmenterte palser, torringer fra tidligere palser, dammer og laggområder (se forsidebilde; område 3). Noe mer tilgjengelige og tørrere myrområder med kuppelpalser og store palsplatåkomplekser med varierende grad av fragmentering forekommer innen myrområdene øst og sør for Gohteluoppal Fjellstue (områdene 1 og 2 i Granmo 1988). Palsene i de utilgjengelige delene var en gang opp til fire-fem meter høye (Granmo 1988) og alderen er blitt anslått til 2000-3000 år (Åhman 1977), men nydannelse av palser har også forekommet i senere tid (Granmo 1988).



Figur 6. Myrområdet Gohteluoppal sørvest for Kautokeino, Vest-Finnmark. © NINA 2022.



Figur 7. Delområder innen myrområdet Gohteluoppal sørvest for Kautokeino, Vest-Finnmark. Inndelingen følger Granmo (1988; røde siffer). Områder med linjeanalyser er markert med ovaler. © NINA 2022.

Grunnet områdets størrelse (ca. 15 km²), kan kun meget begrensede deler dekkes av overvåkings linjeanalyser. Tilgjengelighet sammen med representativitet utgjør grunnlaget for valg av delområder med linjeanalyser innen overvåkingsprogrammet generelt. Innen Goahteluoppal har tilgjengelighet fått relativt sett stor betydning, og følgelig er deler innen områdene 1, 2 og 3 valgt for linjeanalyser (se **Figur 7**).

Nedenfor gis informasjon om status, beliggenhet, berggrunn og vegetasjon samt tilgjengelige klimadata og ulike typer områdedokumentasjon (**Tabell 2**). Berggrunnsinformasjonen i tabellen er hentet fra www.ngu.no og informasjon om vegetasjonsgeografisk region og vegetasjonsperiodens lengde (antall dager med temperatur på >5°C) stammer fra Moen (1999). Goahteluoppal tilhører i likhet med de fleste områdene i overvåkingsprosjektet den svakt kontinentale seksjonen av den nordboreale vegetasjonssone (Nb-C1) (Moen 1999).

Tabell 2. Områdeinformasjon for Goahteluoppal, Vest-Finnmark. © NINA 2022.

Status	Uten vernestatus
Kart	Adjit 1832 IV
Geografisk beliggenhet	Finnmark, Kautokeino kommune, 68°55'N 22°22'E
Høyde over havet	435 m.o.h.
Areal	6 områder på totalt ca. 15 km ²
Berggrunn	Diorittisk til granittisk gneis, migmatitt
Meteorologisk stasjon	Kautokeino, Suolovuopmi, Sihcjavri
Vegetasjonsgeografisk seksjon	Nb-C1
Dominerende myrtyper	Palsene er et iøynefallende trekk i myrlandskapet som forøvrig består av flatmyr med starr og ull, tueblandingsmyr, strengblandingsmyr
Litteratur	Granmo (1988), Hofgaard (2007), Hofgaard & Myklebost (2012), Hofgaard & Myklebost (2017)
Satellittbilder	Landsat TM/ETM fra f.eks. 1987, 1992, 2000; og Sentinel-2 fra 2015-2021
Flybilder	1958 serie 2033 (1:20000) bilde B 7-9, C 12-16, D 11-13 2003, 2012 og 2021; digitale bilder
Fotodokumentasjon	Granmo (1988), Nilsen (2004), Hofgaard (2006), (2011), (2016), (2021)
Adkomst	Sjøfly, helikopter, traktorvei/sti

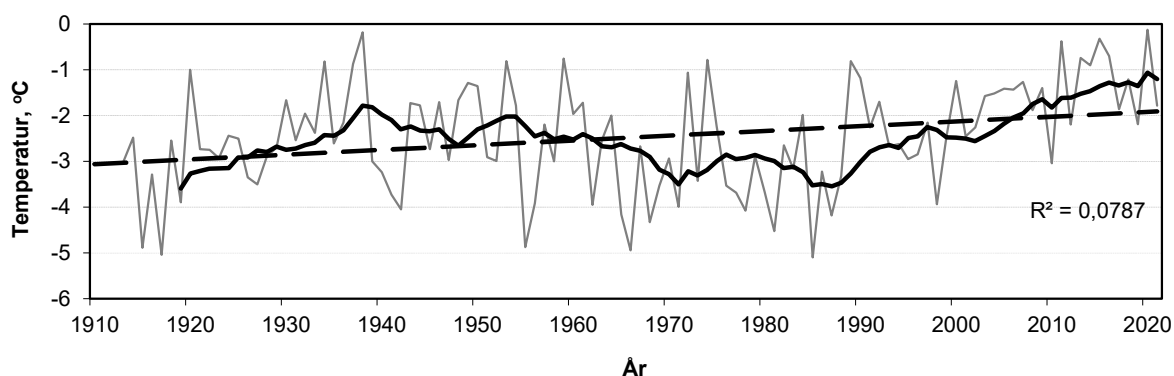
3.2 Klimadata

Alle klimadata er hentet fra Meteorologisk institutt i Oslo (www.met.no). Det finnes tre klimastasjoner med daglige registreringer av temperatur og nedbørsdata, men med ulike driftsperioder innen en avstand på ca. 30-47 km fra Goahteluoppal. Disse er: **Kautokeino** 30 km nordøst for området med registreringer av klimadata siden 1996; **Suolovuopmi** 40 km i øst-sørøst med registreringer siden 1963; og **Sihcjavri** 47 km øst-sørøst for Goahteluoppal med registreringer siden 1912 (temperatur siden 1913). For detaljer se www.met.no. De to stasjonene Suolovuopmi og Sihcjavri representerer Goahteluoppal godt, både terrengmessig og høydemessig. Disse har beliggenhet i områder med lavvokst bjørkeskog, myr og relativt store vann som tilsvarer området ved Goahteluoppal. Sihcjavri har de kvantitativt beste klimadataene av de to stasjonene og egner seg godt for analyser og beskrivelse av klimautviklingen i overvåkingsområdet.

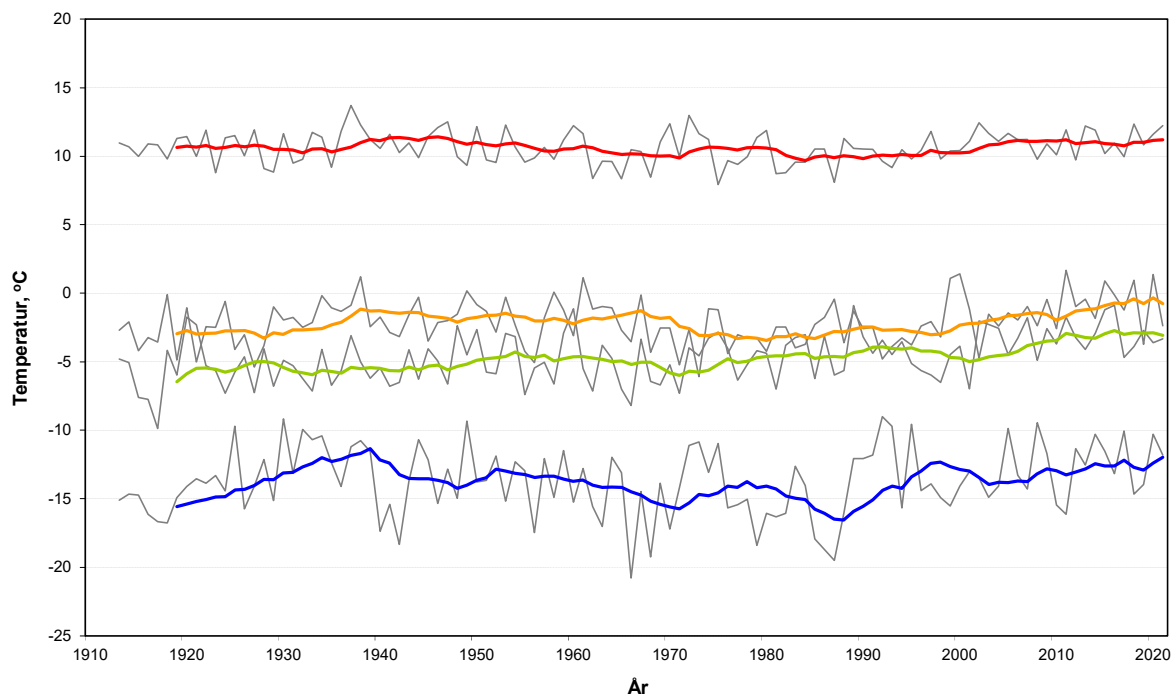
3.2.1 Lufttemperatur

Ifølge data fra Sihcjavri viser temperaturutviklingen i området en svakt økende trend i årsmiddelverdi over hele perioden siden 1913 (ca. en grad siden 1913; **Figur 8**). Området karakteriseres av sterke variasjoner mellom år og mellom perioder av år, og temperaturtrendens signifikans skyldes utviklingen i de siste to tiårene. De fire varmeste årene er 1938, 2011, 2015 og 2020 med en årsmiddeltemperatur på -0,2 °C, -0,4 °C og -0,3 °C og -0,1 °C. Det kaldeste registrerte

året er 1985 med $-5,1\text{ }^{\circ}\text{C}$. 1930- og 2010-tallene er de varmeste tiårsperiodene, mens slutten av 1960-tallet til midten av 1980-tallet var preget av en rekke av kalde år. Det er kun sommeren (juni-august) som har middeltemperaturer over null grader (**Figur 9**) med en middsverdi for hele perioden på $10,6\text{ }^{\circ}\text{C}$. 1930-tallet og 2000-tallet er de varmeste tiårene med gjennomsnittlig sommertemperatur på over $11\text{ }^{\circ}\text{C}$. Den varmeste sommeren er 1937 med $13,7\text{ }^{\circ}\text{C}$, og kun tretten år er registrert med sommertemperaturer over $12\text{ }^{\circ}\text{C}$ siden målingene startet. Middels høsttemperatur er ca. $-2,1\text{ }^{\circ}\text{C}$, men noen få år er registrert med temperaturer over $0\text{ }^{\circ}\text{C}$. Vinteren har den mest variable middeltemperaturen av sesongene med den kaldeste vinteren på $-20,8\text{ }^{\circ}\text{C}$ (1966) og den varmeste på $-9,0\text{ }^{\circ}\text{C}$ (1992). Fordelingen av relativt kalde og varme perioder/tiår følger mønsteret for årsmiddeltemperatur. Perioden mars-mai (vår/vårvinter) viser en svakt økende trend siden begynnelsen av 1900-tallet fra ca. $-5,5\text{ }^{\circ}\text{C}$ til ca. $-3,8\text{ }^{\circ}\text{C}$, men variasjonene mellom år og mellom tiår er store. Kaldeste registrerte vår er 1917 med $-9,9\text{ }^{\circ}\text{C}$ og varmeste 1989 og 2016 med $-0,9\text{ }^{\circ}\text{C}$.



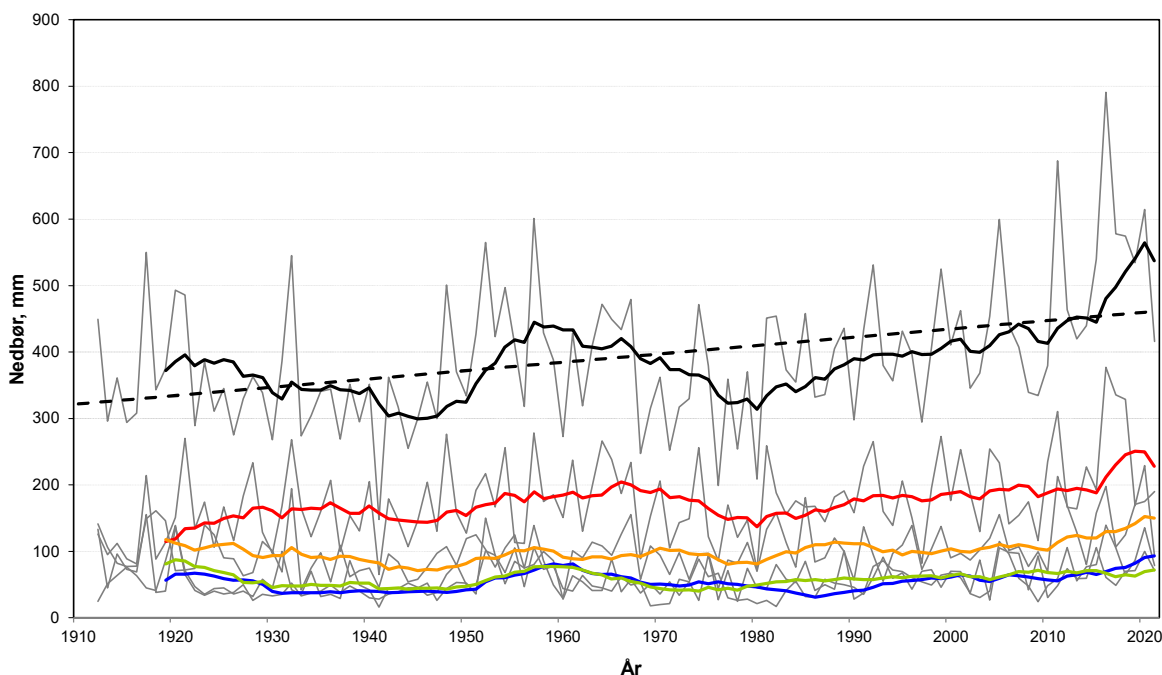
Figur 8. Årsmiddelverdier for temperatur fra Sihcajavri i perioden 1913 til 2021. Tykk linje viser utviklingen i løpende 10-årsmiddelverdi. Den stiplede linjen viser trenden for utvikling over hele perioden. Kilde: www.met.no. © NINA 2022.



Figur 9. Temperaturutvikling per år og årstid for Sihcajavri i perioden 1913 til 2021. De fargede linjene viser utviklingen i løpende 10-årsmiddelverdier for vinter-, vårvinter-, sommer- og høsttemperatur. Kilde: www.met.no. © NINA 2022.

3.2.2 Nedbør

Områdets årsnedbør har økt fra ca. 350 mm til ca. 480 mm fra begynnelsen av måleperioden 1912 til slutten av perioden 2021 (**Figur 10**). Den største og raskeste endringen skjedde i perioden 1944-1957, da den årlige nedbørmengden økte med drøyt 40 %. Denne økningen inkluderer en synkron nedbørsøkning i alle sesonger. Etter denne økningen minket årsnedbøren fram til 1980, etterfulgt av en ny økning som har vart i fire tiår. Nedbøren varierer også sterkt mellom sesonger og mellom år. Nesten halvparten av årsnedbøren kommer i perioden juni til august og ca. en fjerdedel om høsten. Mengden nedbør som kommer i løpet av vinter og vårvinter, varierer stort sett lite i hele perioden, men økte på 1950-tallet og etter 2010. Det tørreste registrerte året siden starten av målingene er 1941 med 148 mm, og de to mest nedbørrike årene er 2011 med 688 mm og 2016 med 791 mm. I sommeren 2016 var nedbøren mer enn doblet sammenliknet med middelverdi for hele perioden.

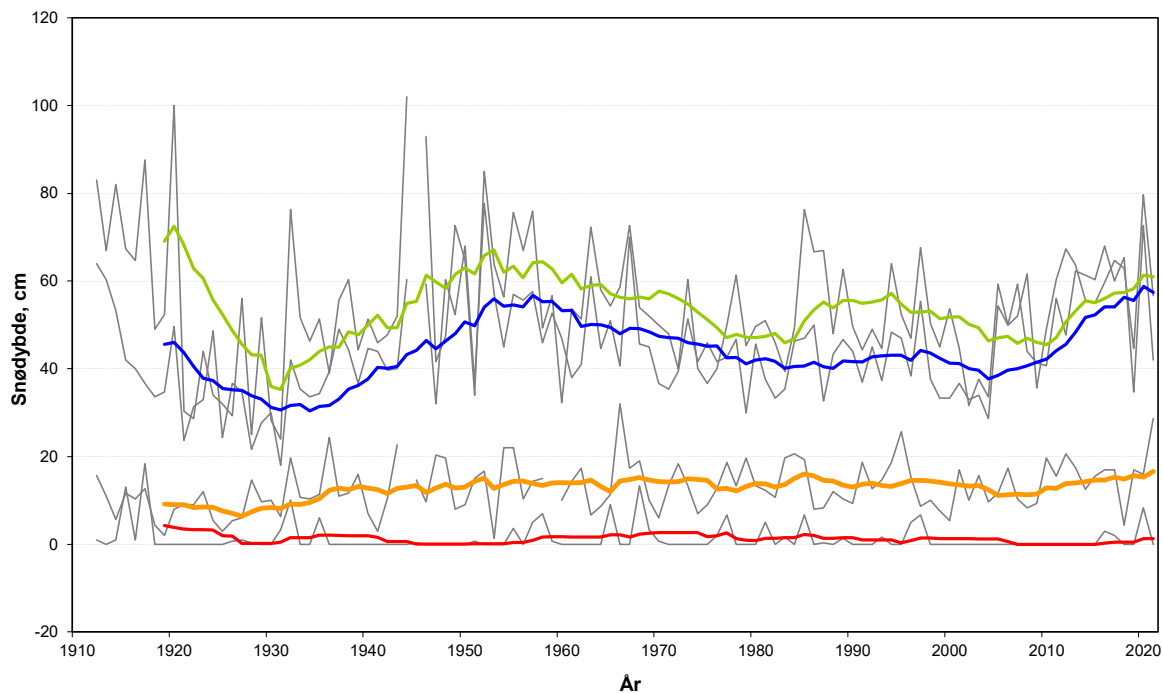


Figur 10. Nedbørutvikling i Sihcajavri i perioden 1912 til 2021. De fargede linjene viser utviklingen i løpende 10-årsmiddelverdier for års-, vinter-, vårvinter-, sommer- og høstnedbør, samt lineær trend for årsverdiene over hele perioden. Kilde: www.met.no. © NINA 2022.

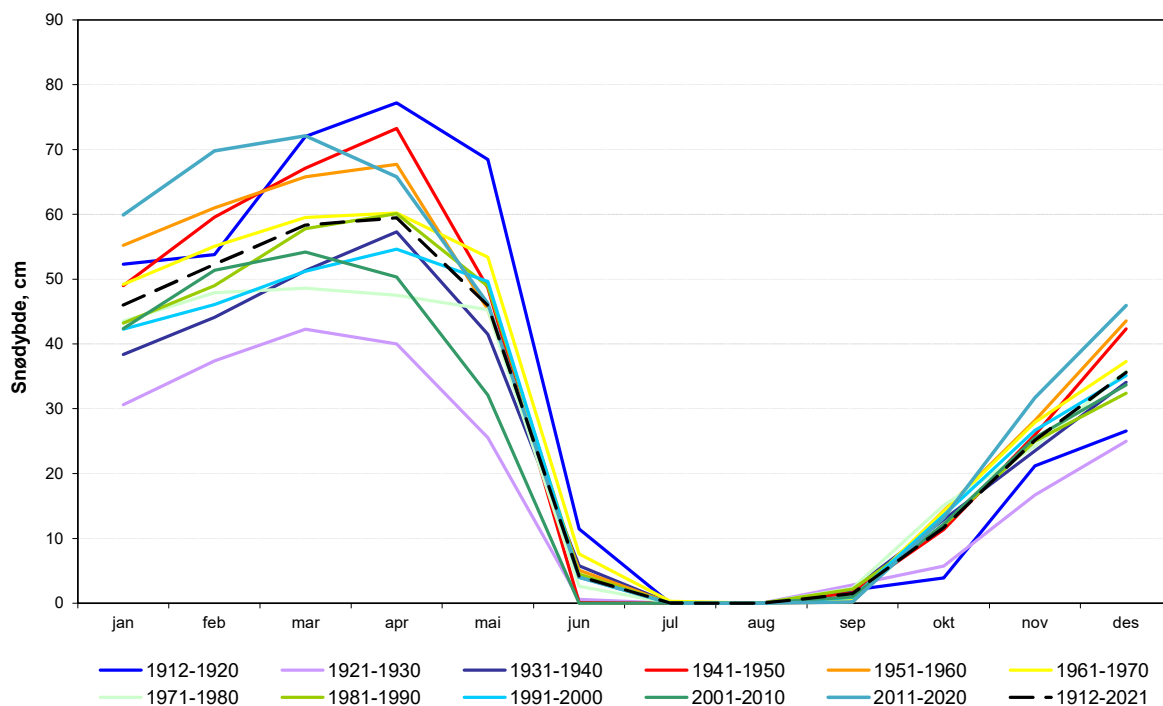
3.2.3 Snødybde

Området karakteriseres av store mellomårsvariasjoner i snømengde/snødybde, og mengden varierer også sterkt mellom lengre tidsperioder (**Figur 11**). Generelt minket snømengden (maksimum snødybde i slutten av vinteren) fra begynnelsen av 1900-tallet og fram til 1931. Deretter økte den fram til midten av 1950-tallet for igjen å minke fram til begynnelsen av 1980-tallet. Snødybden minket også i perioden 1997–2010, men har siden den gang økt markant.

Snøakkumulasjonen begynner de fleste år i september/oktober og pågår fram til og med april måned (**Figur 12**). I periodene 1912–1920 og i 1921-1930 var snødybden i oktober vesentlig lavere enn for øvrige tiår. Enkelte år er den akkumulerte snødybden i april (måned med generelt størst snødybde) lavere enn 30 cm, mens den i snørike år kan gå opp til mer enn én meter. De laveste verdiene for senvinter er registrert i perioden 1921–1931 og 1960, og de høyeste på 1910-tallet og 1920, midt på 1940-tallet, 1952 og 2020 (**Figur 11**). Den raskeste snøsmeltingsperioden er andre halvdel av mai og i juni (**Figur 12**). Kun august er uten registrert snødybde.



Figur 11. Snødybde for Sihcajavri i perioden 1912 til 2021 presentert som sesongvise middelværdier av største snødybde for enkeltmåneder. De fargede linjene viser utviklingen i løpende 10-års-middelværdier for *vinter*-, *vårvinter*-, *sommer*- og *høst*snødybde. Data mangler for perioden oktober 1944 til mai 1945. Kilde: www.met.no. © NINA 2022.



Figur 12. Årsvariasjon i snødybde for Sihcajavri fordelt på tiår og for hele perioden 1912 til 2021, beregnet fra største registrerte snødybde per måned. Kilde: www.met.no. © NINA 2022.

3.3 Fly og satellittbilder

Det finnes flybilder for Gohteluoppal fra 1958 i skalaen 1:20000 og fra 2003, 2012 og 2021 med oppløsning 0,5 m, 0,4 m og 0,25 m. Bildenes oppløsning er ikke høy nok for å analysere utviklingen i myrområdene i detalj, men gir en relativt god oversikt over storskalaendringer i myrområdenes dominerende palsmyrstrukturer, som for eksempel frekvens og form av større palser og vannsamlinger.

Satellittbilder finnes fra begynnelsen av 1970-tallet og utgjør dermed et ca. 50-årig grunnlag for kontinuerlig overvåking av utviklingen. Disse gir likevel bare en grov indikasjon på tilstedeværelse eller tidligere tilstedeværelse av palsformasjoner som har gitt opphav til større dammer i myrområdene. Strukturelle endringer på en skala mer egnet for overvåkingsprogrammet kan skaffes via for eksempel høyoppløselige satellittbilder, men disse medfører en stor kostnad (se Appendix I i Hofgaard 2003, Lauknes et al. 2012 og Wramner et al. 2012 for mer informasjon om muligheter med satellittbilder).

3.4 Innsamling av data og status ved starten for overvåkingen i 2006

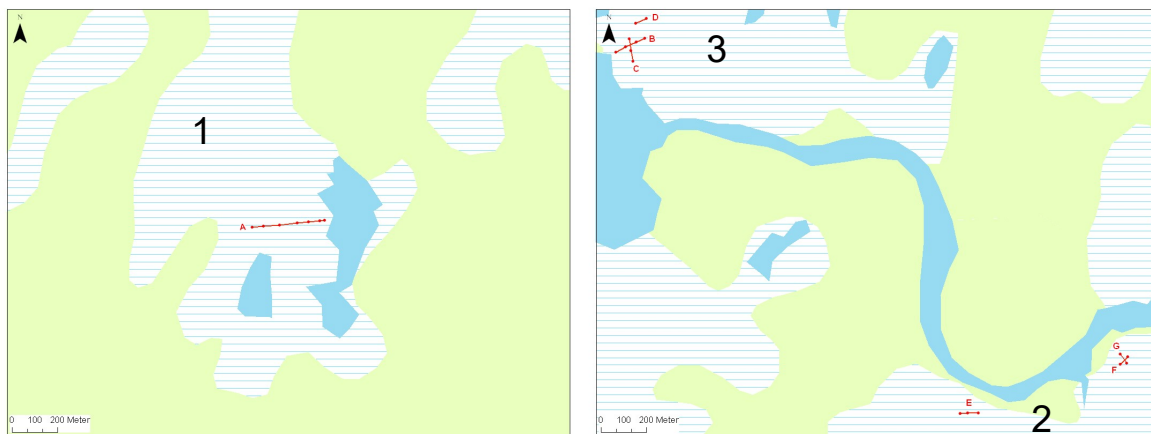
3.4.1 Områder og palsformasjoner

Palsformasjoner forekommer innen mesteparten av Gohteluoppal-området, men frekvensen av kuppelpalser og fragmenterte palsplatåer varierer mellom ulike deler. Over store områder dominerer bløt flatmyr med starr og myrull. De største kuppelformede palsene er mer enn 3 m høye og deres dekning i areal varierer sterkt fra noen hundre kvadratmeter til opptil flere tusen kvadratmeter. Palsplatåene er vanligvis fragmenterte og inneholder partier med kuppelpalser. Tre delområder representert med fragmenterte palsplatåer og større og mindre kuppelpalser i ulike utviklingsstadier, er valgt som overvåkingsområder med linjeanalyser (**Figur 13**). Mellomformer mellom kuppelpalser og palsplatåer forekommer vanligvis både innen myrområdet i sin helhet og innen de utvalgte delområdene.

Delområde 1 representerer de typiske fragmenterte palsplatåene innen Gohteluoppal-området. Et ca. 700 x 300 meter stort palsplatå dominerer delområdet (**Figur 14**). En 320 m lang linje (linje A) er plassert på tvers av det tidligere sammenhengende platået. Palsplatået er sterkt fragmentert og karakteriseres av palspartier, dammer og erosjonsflikker, og av noen meter høye bruddkanter mot flankerende bløte myrområder. Området ligger på vestsiden av et relativt stort vann, Moskolatjavri.

Delområde 2 ved sørsiden av vannet Gohteluoppal, er karakterisert av vekselvis sumpskog og myr med små, spredte palser og palsområder i ulike utviklingsstadier. Spredte ca. 3 m høye kuppelpalser med markerte bruddkanter mot omringende lag og dammer forekommer i området, sammen med lave og flate palser uten bruddkanter. Tre analyselinjer (linjene E, F og G) er plasserte innen delområdet for å representere de ulike typene av palser, degenereringsområder, flatmyr og laggområder (**Figur 15**).

Delområde 3 karakteriseres i sør av store og høye palser, som til dels henger sammen i palskonglomerat, og et omfattende flatmyrområde med fragmenterte palser og palsringer i nord (se forsidebilde). Tre analyselinjer (linjene B, C og D) er plasserte innen delområdets søndre del, rett nordøst for vannet Azit. Disse representerer områdets store palser med vekstområder, degenereringsområder, dammer og laggområder, samt flankerende myrområder (**Figur 16**).



Figur 13. Plassering av analyselinjer i overvåkingsområdene innen Gohteluoppal. Delområdene er nummerert fra 1-3. © NINA 2022.



Figur 14. Delområde 1. Linje A krysser palsplatået og dammen i bildets venstre del. Foto: A. Hofgaard. © NINA 2022.



Figur 15. Delområde 2. Linjene F og G krysser den buformede palsen (markert med pil). Foto: A. Hofgaard. © NINA 2022.



Figur 16. Delområde 3. Linjene B, C og D krysser to av palsene i vestre del av området. Foto: A. Hofgaard. © NINA 2022.

3.4.2 Analyselinjer

Til sammen sju linjer ble i 2006 plassert ut innen de tre delområdene (**Figur 13**): én linje i delområde 1, tre linjer i delområde 2 og tre linjer i delområde 3; med en total lengde på 791 meter. Detaljer for linjenes plassering, lengde og trekk er vist i **Tabell 3**. Fordeling av tele, markslag, bunn-, felt- og busksjiktvegetasjon, samt palsenes høyde over omliggende myr er presentert nedenfor (se kapittel 4.2). Linjene ble plassert slik at de fanger opp mest mulig av variasjonen i palsområdene.

Linje A (delområde 1) krysser et fragmentert palsplatå og inkluderer syv palsformasjoner, to dammer og partier med myrflate (**Figur 14**). Linje B og C (delområde 3) krysser en stor pals med noen dammer, et bruddkant- og laggområde og flankerende myr (**Figur 16**). Palsen er en av de høyeste i området. Linje D (delområde 3) krysser den østre delen av en relativt smal pals nord for palsen med linjene B og C. Palsen er relativt lav og linjen inkluderer palsens erosjonskanter, en dam og flankerende myr (**Figur 16**). Linje E (delområde 2) krysser to synkende og relativt lave palser og flankerende lagg og myr. Linjene F og G (delområde 2) krysser en ca. 2,5 meter høy pals med erosjonskanter på alle sider (**Figur 15**).

Tabell 3. *Analyselinjenes plassering, lengde, trekk og GPS-posisjon ved linjestart.* © NINA 2022.

Linje- navn	Del- område	Lengde (m)	Formasjon	Linjestart	Linjeslutt	Retning (°)	Kommentarer
A	1	320	palsplatå	palsring	myrflate	86	Linjen krysser syv paller og tre dammer innen det fragmenterte palsplatået. 34 W 559697 7642459
B	3	140	pals	bjørkekratt	myrflate	65	Linjen krysser en stor pals, en gammel dam, en markert bruddkant og en dam på palsen; linjen krysser linje C. 34 W 555267 7642496
C	3	100	pals	palsring	myrflate	352	Linjen krysser linje B, og inkluderer i tillegg til palsen tre bruddkanter og to dammer. 34 W 555341 7642457
D	3	50	pals	palsring	myrflate	68	Linjen krysser områder med myrflate, lagg, bruddkant, pals og palsring. 34 W 555354 7642625
E	2	81	pals	myrflate	myrflate	270	Linjen krysser to synkende paller. 34 W 556861 7640909
F	2	50	pals	palsring	myrflate	227	Linjen krysser en relativt høy men synkende pals omkranset av markerte laggområder. 34 W 557520 7641157
G	2	50	pals	myrflate	myrflate	324	Samme pals som linje F krysser. 34 W 557515 7641129

3.4.3 Sprekkfrekvens

Antallet torvsprekker og sprekkbredde ble i 2006 analysert langs alle linjene. Antallet sprekker varierte langs linjene avhengig av antallet og omfanget av områder med palsdegenerering langs linjene. Det ble registrert sprekker langs fem av linjene, med høyeste verdi for linje F innen delområde 2. Linjene B, C, D og F krysser flere aktive fragmenteringsområder og bruddkanter som gav lokalt høy frekvens av sprekker. Linjene E og G hadde ingen registrerte sprekker. Innen partier med aktiv og sterk degenerering, som for eksempel bruddkanter, kan det være vanskelig eller umulig å definere enkeltsprekker og bredder. Slike partier ble derfor angitt med total lengde langs linjene og inngikk ikke i beregningen av antall sprekker per meter. Detaljdata for 2006 er presentert nedenfor sammen med data fra 2011, 2016 og 2021 (se kapittel 4.2.2).

3.4.4 Artfrekvens

Finskala variasjon i bunn-, felt- og busksjiktvariabler ble i 2006 analysert langs 21 tilfeldig plasserte linjer innen delområde 1 og 3. Linjene fordelte seg på markslagene pals (12 linjer), myrflate (5) og lagg (4). De samme variablene som langs de lengre linjene (se **Tabell 1**) ble registrert, men variabelen for lyng ble delt opp og registrert til art: krekling, blokkebær, blåbær og tyttebær. Ettersom linjene ble tilfeldig plassert inkluderte de også deler av andre markslag enn den kategorien de er klassifisert til. For eksempel inkluderte lagg, som karakteriseres av torvmose, andre moser og molte, elementer som tilhører overgangssoner mot palsområder (f.eks. forekomsten av strø, lyng og busker). Molte karakteriserte generelt overgangssonene mellom habitatene. Dette gjeldet også innen pals- og palsplatåområdene der mange små ujevnheter og fordypninger gir gode moltehabitater. Grunnet nattefrost uken før analysene i 2006 ble frekvensen for molte noe lavere enn den ellers ville vært. Palslinjene var karakterisert av lavvokst dvergbjørk,

finnmarkspors og lyng. I kantsonene av palsene gikk den lavvokste dvergbjørken og finnmarksporsen over til en større buskform.

3.5 Datainnsamlingsperiode

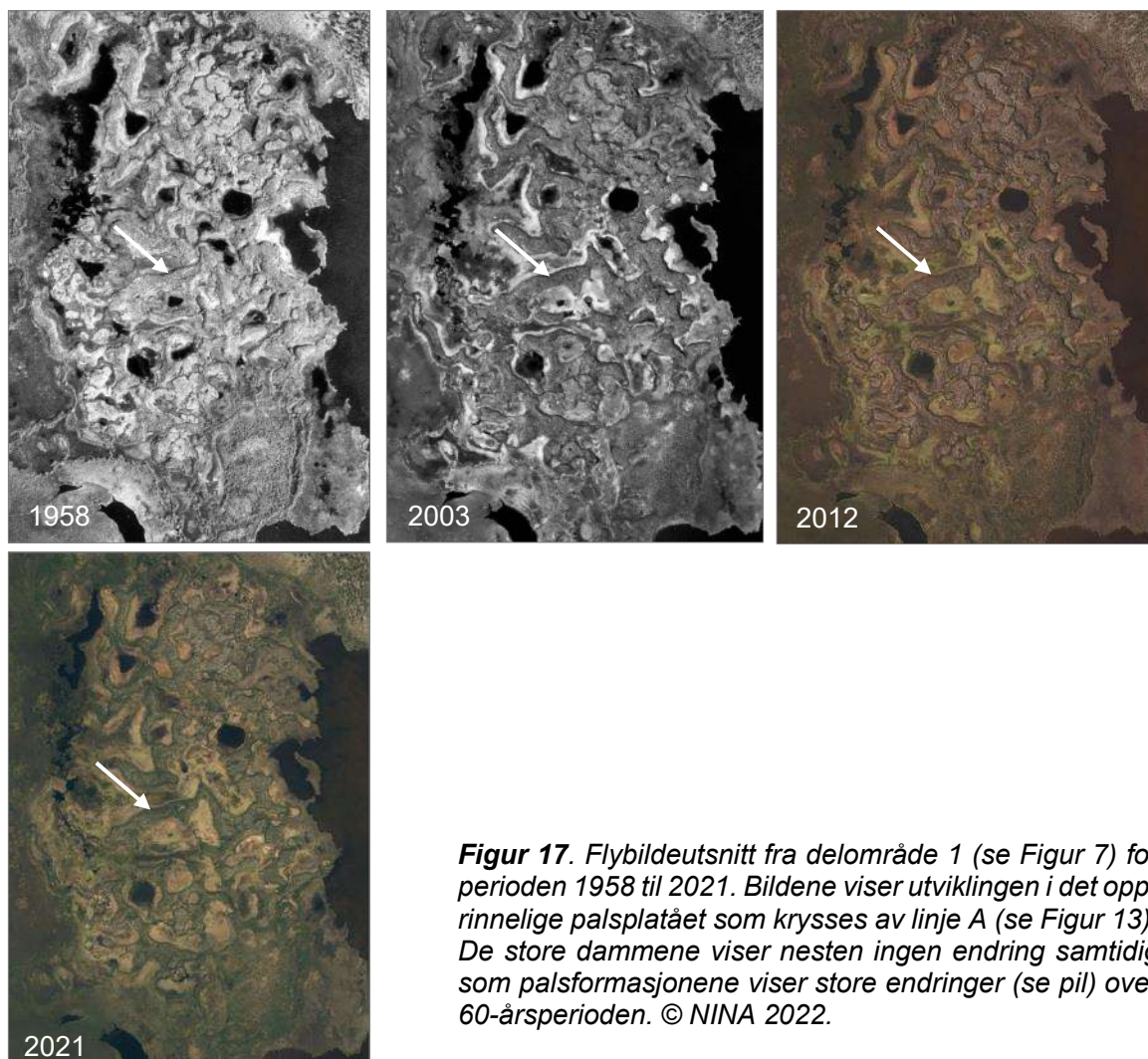
Datainnsamlingen ble i 2021 utført på samme måte som i 2006, 2011 og 2016, og i henhold til de beskrevne metodene (se kapittel 2.2). Men i 2016, grunnet mye overflatevann i alle delområdene, var analyser kun mulig i delområde 3 (linje B-D). I 2021 var analyser langs linje G ikke mulig grunnet manglende linjemarkering og dannelse av bløtmyr. Artsfrekvens langs de tilfeldig valgte 5-meterslinjene (artslinjer; se kapittel 3.4.4) ble i 2011, 2016 og 2021 kun registrert for linjer som representerte palsoverflaten; med 18, 9 og 18 linjer per år (det lave antallet i 2016 skyldes overflatevann). I 2006, 2011 og 2021 ble palsområdet nord for delområde 3 fotografert fra helikopter, men dette var kun delvis mulig i 2016 grunnet dårlig vær. Datainnsamlingsperioden er den samme i alle fire årene: 2006 (9.–16. august), 2011 (8.–12. august), 2016 (7.–13. august) og 2021 (8.–13. august).

4 Resultat

4.1 Palsformasjoner

4.1.1 Endringer siden 1950-tallet

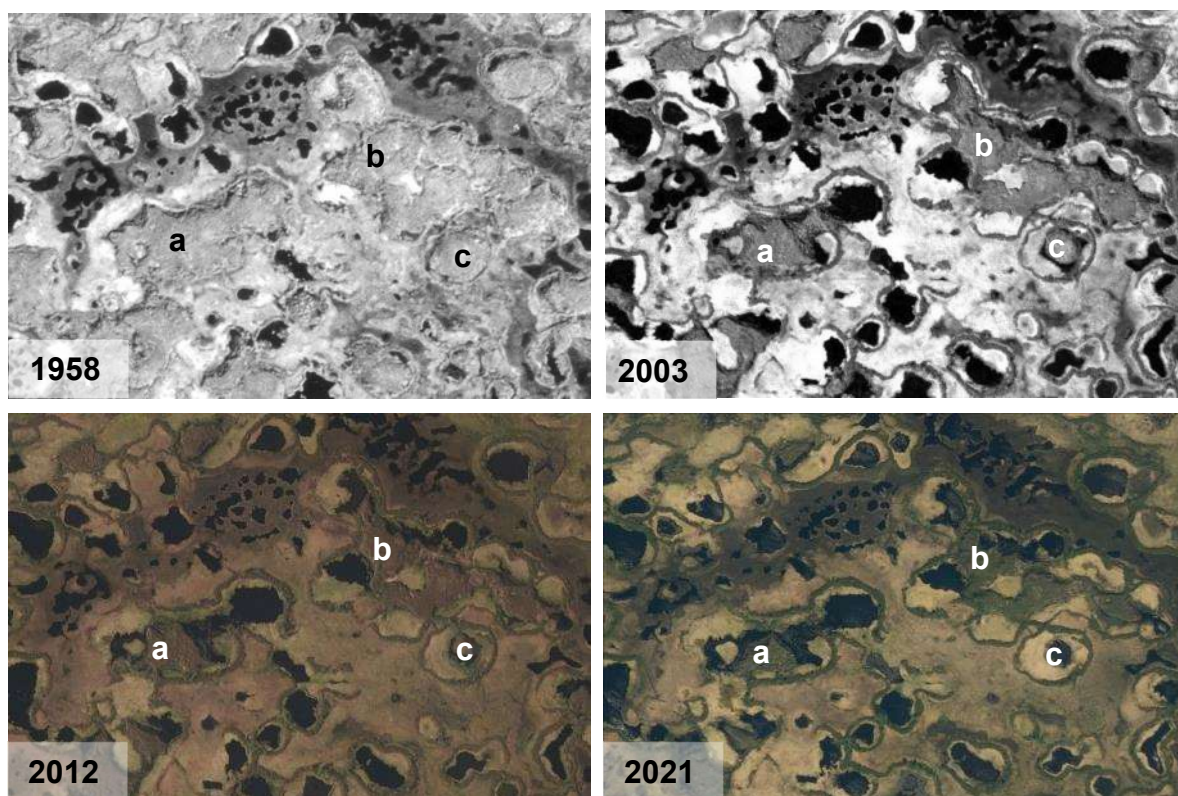
Flybildene fra 1958 viser at store sammenhengende palser karakteriserte myrene i Goahte-luoppal for ca. 60 år siden, men dammer ved palskantene viser også at permafrosten allerede da var i ferd med å tine (**Figur 17** og **18**). Flere av disse dammene har vokst betraktelig frem til 2021, og i de våtteste partiene er store deler av palsene fra 1958 blitt borte (**Figur 18**). Ettersom det ikke finns bilder fra tiden mellom 1958 og 2003 er det vanskelig å si noe om dynamikken i endringene innen disse 45 årene, kun at til dels store endringer har skjedd i de våtteste myrene (**Figur 17** og **18**) og relativt beskjedne endringer i mindre våte områder (**Figur 19**). Denne prosessen har fortsatt frem til 2021. Bildene fra 2012 og 2021 viser også at flere av dammene fra 1958 har grodd igjen med myrvegetasjon, samtidig som noen av dammene har vokst sammen til større dammer. Bildene fra området nord for delområde 3 fra 1950-tallet og fremover viser klart hvordan opprinnelige palser suksessivt blir omformet til starr og myrullbevakst myr, alt ettersom permafrosten tiner (se for eksempel pals **c** i **Figur 18**).



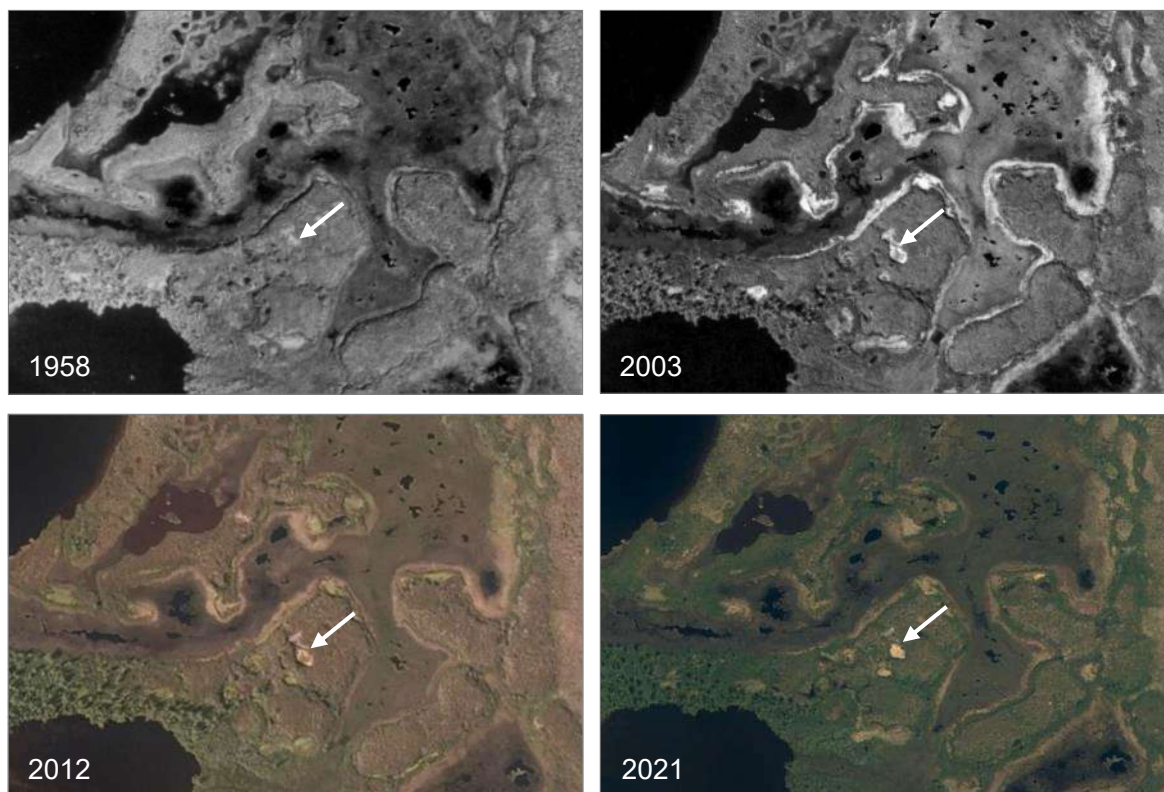
Figur 17. Flybildeutsnitt fra delområde 1 (se Figur 7) for perioden 1958 til 2021. Bildene viser utviklingen i det opprinnelige palsplatået som krysses av linje A (se Figur 13). De store dammene viser nesten ingen endring samtidig som palsformasjonene viser store endringer (se pil) over 60-årsperioden. © NINA 2022.

For delområde 1, som i 1958 var dominert av et platåliggende konglomerat av sammenvokste palser, viser det eldste bildet at store deler av det opprinnelige platået var sterkt fragmentert allerede på 1950-tallet (**Figur 17**). Bildene viser også at størrelsen på mange av palsene i platåets nordre deler er nesten uforandret frem til 2021. I platåets midtre deler (som krysses av linje A; se **Figur 7 og 13**) har palsene minnet betraktelig i størrelse mellom 1958 og 2003, men i liten grad mellom 2003 og 2012, og noe mer mellom 2012 og 2021.

For delområde 3, der linjene B-D er plassert (se **Figur 7 og 16**) er endringene siden 1950-tallet små, selv om noen palskanter har trukket seg tilbake (**Figur 19**). Disse kantene er erstattet med myrvegetasjon dominert av myrull og starr. I tillegg til endringer i palsenes kanter har en dam utviklet seg sentralt på en av de større palsene. Hoveddelen av dammen fantes ikke i 1958, men var allerede i 2003 dekket av myrvegetasjon. Dammens plassering indikerer en begynnende fragmentering av tidligere intakte større palser.



Figur 18. Myrområdet nord for delområde 3 (se Figur 7) var i slutten av 1950-tallet karakterisert av store sammenhengende palser, men er i senere tid karakterisert av palsringer og tinende palser. *a*, *b* og *c* i bildet fra 1958 markerer noen palser som har gjennomgått store endringer siden 1950-tallet. Disse palsene vises også i Figur 20 nedenfor. © NINA 2022.



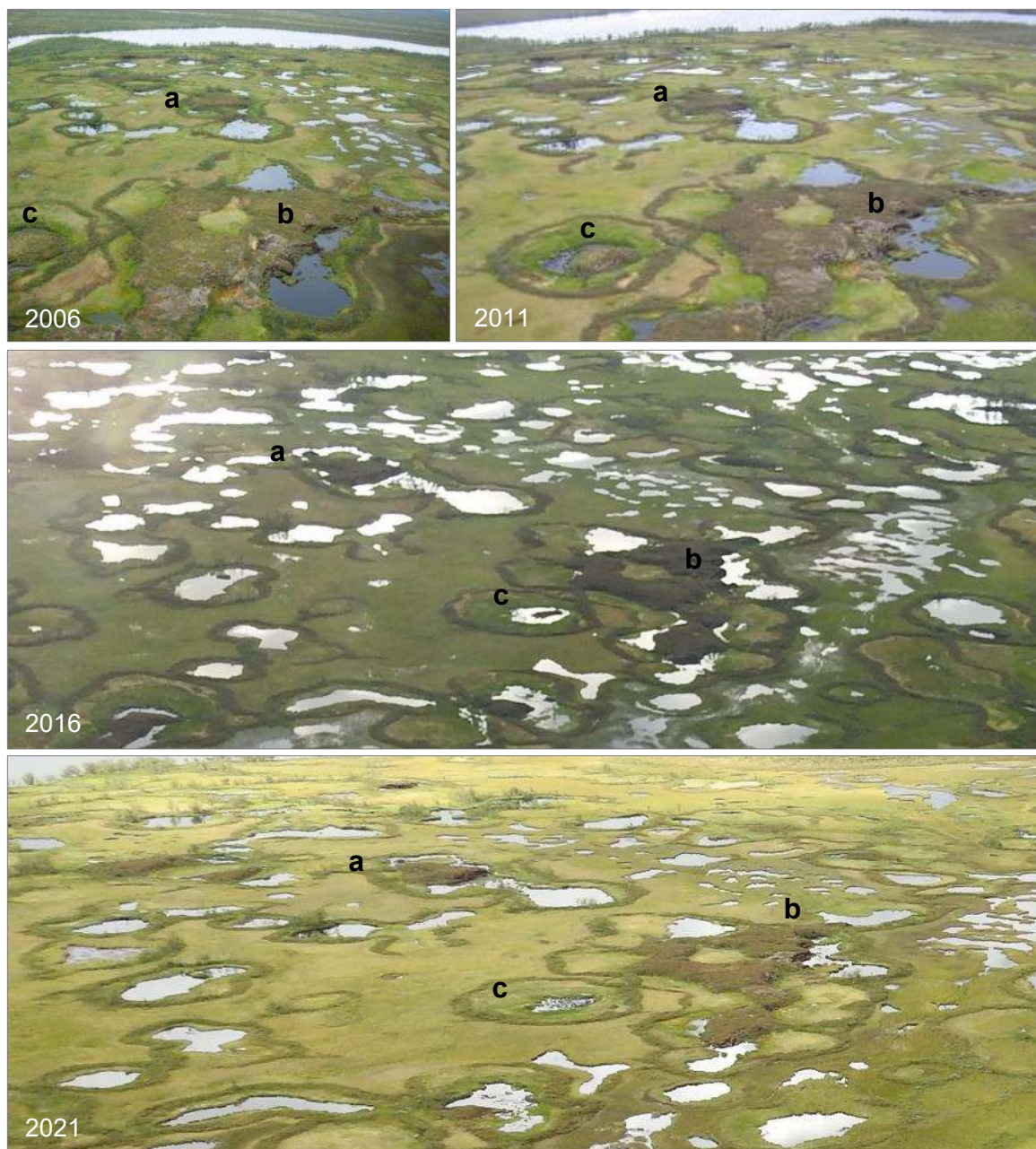
Figur 19. Flybildeutsnitt fra delområde 3 (se Figur 7) for perioden 1958 til 2021. Bildene viser den relativt langsomme utvikling som karakteriserer de tørreste palsområdene i Gohteluoppal, men en dam har utviklet seg sentralt på en pals (vist med pil). Linjene B-D er plassert dette området (se Figur 13). © NINA 2022.

4.1.2 Endringer i overvåkingsperioden 2006 til 2021

Utbredelsen av eldre velutviklede paller har minket i overvåkingsperioden, men i området med linjene B-D er endringene totalt sett relativt små. Nesten alle pallsformasjoner som ble registrert i 2006 eksisterte fortsatt i 2021, men for enkelte pallsformasjoner er endringen stor (detaljer er presentert i kapittel 4.2). Innen de nordlige våtere områdene av Gohteluoppal hvor det ikke er etablert analyselinjer (Figur 7; delområdene 5 og 6, og mellom 3 og 6), er endringene slående og mer omfattende med palsdegenerering generelt. Dette kan imidlertid ikke kvantifiseres i detalj, men flybilder (se kapittel 4.1.1) og bilder tatt fra helikopter viser tydelige endringer i perioden fra 2006 til 2021 (Figur 20-22).

Endringene i overvåkingsperioden er som vist for perioden siden 1950-tallet, størst i de våteste delene av myrene (Figur 20-21) og minst i mindre våte områder (Figur 22), selv om variasjonen er stor mellom individuelle pallsformasjoner. Sett under ett er reduksjonen i pallsstørrelse og pallsforekomst tydelig og klart merkbar i hele Gohteluoppal-området.

Det ble verken i 2011, 2016 eller 2021 registrert nye pallsformasjoner i områdene ved hjelp av linjeanalyser, men områder med død myrull og død torvmose forekom i 2011, noe som tyder på at det i tiden før 2011 har forekommet nye permafrostområder som hatt noen års varighet. Dybden til tele på nye permafrostfelter er om sommeren normalt ca. 20 til 40 centimeter (Hofgaard & Myklebost, 2015). Dersom telen blir værende utover hele sommeren, dør myrvegetasjonen og danner lyse lett gjenkjennbare og karakteristiske områder.



Figur 20. Bildene, som er tatt fra helikopter, viser en del av et stort palsområde nord for delområde 3 (se Figur 7). Palsformasjon **a** har minket betydelige i perioden 2006 til 2021, **b** viser kun mindre endringer og **c** er nesten helt borte. Foto: A. Hofgaard. © NINA 2022.



Figur 21. Bildene viser en pals nord for delområde 3 (se Figur 7) der endringene har vært betydelige i overvåkingsperioden (2006 til 2021). Bildene er tatt fra helikopter mot øst i 2006 og 2011, og mot vest i 2016 (i dårlig vær) (en stjerne er lagt inn i bildene som posisjonsmarkør). Foto: A. Hofgaard. Bildet fra 2021 er utsnitt fra flybilde. © NINA 2022.



Figur 22. Palsplatå med dam i delområde 1 (nær starten av linje A) der kun små endringer har skjedd i perioden 2006 til 2021. Foto: A. Hofgaard. © NINA 2022.

4.2 Linjeanalyser

Her presenteres endringene i perioden 2006 til 2021 ved hjelp av statistikk for forekomst av tele, dybde til tele, markslag og vegetasjon for linjene. Detaljert figureksempel gis for en av linjene (**Figur 23-24**). Plassering og trekk for individuelle linjer er presentert i avsnitt 3.4.2.

4.2.1 Tele og markslag

Frekvensen med tele langs analyselinjene har avtatt i perioden 2006 til 2021 (**Tabell 4**). Økning av tele er kun registrert for en linje (A) og kun for en 5-årsperiode (2006-2011). Fordelt på 5-årsperioder så var reduksjonen i tele-frekvens relativt langsom mellom 2006 og 2011 og noe raskere i senere perioder. For linjene B-D, som ligger i en tørrere del av Goahteluoppal sammenlignet med for eksempel linjene E og F, har reduksjonen vært relativt langsom. Samlet for alle linjene motsvarer reduksjonen i tele over hele perioden ca. 34 % av forekomsten i 2006.

Variasjonen i hastighet for teleutbredelsens reduksjon mellom perioder kan skyldes at dyptliggende tele varierer mellom årene (**Figur 23**). Det kan imidlertid ikke utelukkes at forskjeller i registrering kan ha påvirket resultatet, ettersom tele som ligger dypere enn ca. 1,5 meter er vanskelig å detektere. Formen på de ulike palsformasjonene tyder på at endringen har vært begrenset (**Figur 23**). For perioden 2006 til 2011 (da alle linjer ble analyserte), viste område 3 (linje A) en svak økning i teleutbredelse samtidig som område 2 (linje E-G) viste en sterk reduksjon (**Tabell 4**). Den store tilbakegangen i teleutbredelse i delområde 2 har fortsatt i senere perioder og skyldes at palsene langs linjene har tint og blitt helt eller nesten helt borte i perioden 2006 til 2021.

Middeldybden for telens forekomst langs palsdelene av analyselinjene var ved målingstidspunktet både i 2006 og 2021 ca. 53 cm, med et standardavvik på henholdsvis 13 og 21 cm (**Tabell 4**). Selv om dette indikerer en stasjonær situasjon så viser overvåkningsdataet at det er relativt store variasjoner mellom årene og linjene. Derimot viser minste oppmålte dybde til tele relativt konstante verdier mellom både år og linjer, selv om middeldybden for telen varierte (**Tabell 4**).

Tabell 4. Telens fordeling, frekvens og dybde langs linjene i årene 2006, 2011, 2016 og 2021. Linjenes totale lengde i meter er gitt i parentes etter linjenavnet. SD= standardavvik. © NINA 2022.

Linje-navn	Frekvens %				Gj.snitt dybde, cm*				Maks. dybde, cm*				Min. dybde, cm*				SD dybde*			
	2006	2011	2016	2021	2006	2011	2016	2021	2006	2011	2016	2021	2006	2011	2016	2021	2006	2011	2016	2021
A (320)	46,6	58,4		35,7	51,6	74,9		59,4	140	190		175	35	40		35	14,4	44,2		28,0
B (140)	60,0	57,9	54,3	45,7	56,3	64,9	84,4	71,3	150	180	175	175	35	35	45	35	20,4	31,9	40,1	43,0
C (100)	68,0	67,0	65,0	61,0	49,3	53,4	61,4	46,9	95	150	180	130	35	30	35	30	9,4	21,5	23,0	20,8
D (50)	32,0	32,0	30,0	26,0	46,6	48,8	49,7	33,8	70	110	130	40	40	35	35	30	7,9	18,1	22,6	3,0
E (81)	51,9	24,7		16,0	55,0	55,0		56,9	140	95		110	30	35		40	21,2	14,0		23,5
F (50)	66,0	58,0		20,0	56,4	62,1		50,0	75	80		60	35	35		40	9,5	11,1		5,8
G (50)	36,0	26,0			57,8	65,4			80	130			35	50			10,2	20,3		
Gj.snitt	51,5	46,3	49,8	34,1	53,3	60,6	65,2	53,1	107,1	133,6	161,7	115,0	35,0	37,1	38,3	35,0	13,3	23,0	28,6	20,7

*beregninger basert kun på metre hvor tele forekommer

Markslagsfordelingen langs linjene viser til dels tydelige endringer i overvåkingsperioden (**Tabell 5, Figur 24**). Frekvensen med pals, som er det dominerende markslaget, har minket fra ca. 54 % til ca. 37 % samlet langs linjene fra 2006 til 2021. Myrflate har økt tilsvarende i overvåkingsperioden (**Tabell 5**), men økningen av myrflate-frekvens er først og fremst forårsaket av gjengroing av dammer og lagg langs linjene, mens reduksjon i pals som forårsakes av palsdegenerering og etterfølgende økning av dam-, lagg- og palsring-frekvens. Markslagstypen dam økte mellom 2006 og 2011, men har avtatt siden da. Flere detaljer for markslagsendringer i perioden 2006 til 2021 per linje er presentert i **Tabell 5**, og bildeeksempel fra to av linjene er presentert i **Figur 25-27**.

Tabell 5. Endring i markslagsfordeling for linjene individuelt og samlet, angitt i prosent av linjenes lengde. © NINA 2022.

Linjenavn År	A				B				C				D			
	2006	2011	2016	2021	2006	2011	2016	2021	2006	2011	2016	2021	2006	2011	2016	2021
Markslag																
bruddkant	0	0	0,6		7,9	5,7	4,3	5,0	5,0	2,0	6,0	5,0	4,0	4,0	2,0	2,0
dam	22,2	20,9	0		12,1	12,1	10,7	4,3	10,0	8,0	10,0	11,0	0	0	0	0
lagg	1,9	0,3	0		10,0	15,7	12,1	11,4	0	0	1,0	1,0	0	4,0	8,0	0
myrflate	20,3	23,8	52,5		10,0	4,3	15,0	25,0	17,0	17,0	16,0	18,0	50,0	54,0	54,0	60,0
pals	52,8	52,2	40,6		57,9	60,0	56,4	50,7	67,0	71,0	65,0	64,0	34,0	30,0	30,0	28,0
palsring**	2,8	2,8	5,9		2,1	2,1	1,4	3,6	1,0	2,0	2,0	1,0	12,0	8,0	6,0	10,0
Linjenavn År	E				F				Middelverdi for linjene A-F							
	2006	2011	2016	2021	2006	2011	2016	2021	2006	2011	2016*	2021				
Markslag																
bruddkant	0	0	0		8,0	0		4,0					4,1	2,0	4,1	2,8
dam	0	19,8	0		0	0		0					7,4	10,1	6,9	2,5
lagg	21,0	3,7	3,7		10	12		18					7,1	6,0	7,0	5,7
myrflate	28,4	46,9	76,5		12	10		34					23,0	26,0	28,3	44,3
pals	50,6	29,6	17,3		60	66		22					53,7	51,5	50,5	37,1
palsring**	0	0	2,5		10	12		22					4,7	4,5	3,1	7,5

*kun linje B-D (se kapittel 3.5)

**palsring og tue er slått sammen til palsring

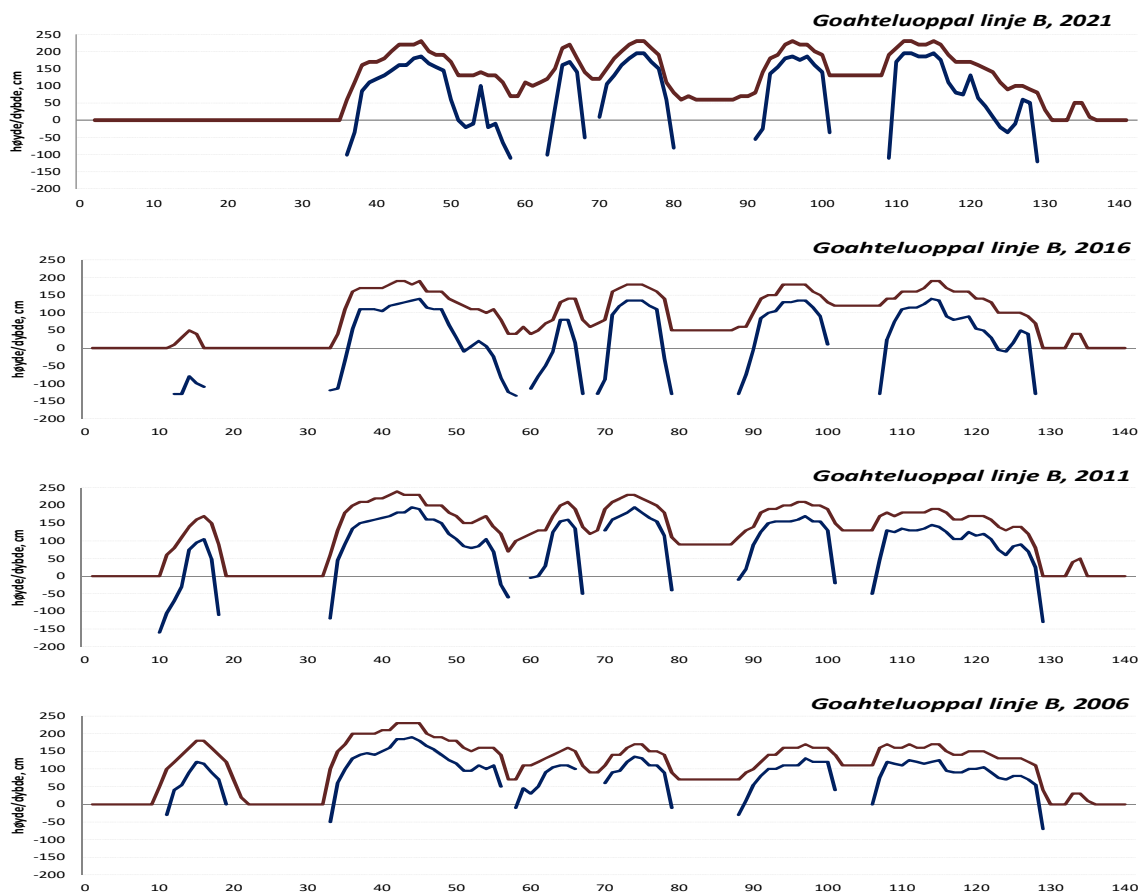
4.2.2 Sprekkfrekvens

Antallet sprekker per meter, samlet for linjene B, C og D (dvs. linjene som er analysert alle år; se kapittel 3.5), økte noe i løpet av de første ti årene av analyseperioden, men er sterkt redusert de siste fem årene. Samtidig ble bruddkantfrekvensen redusert i første del av hele perioden, men har vært nesten konstant siden den gang (**Tabell 6**). Endringene i perioden 2006 til 2021 skyldes først og fremst endringer langs linje B. Reduksjon i antall meter med bruddkant for denne linjen skyldes at deler av bruddkanter fra 2006 har rast sammen og forsvunnet ned i tilgrensende dammer.

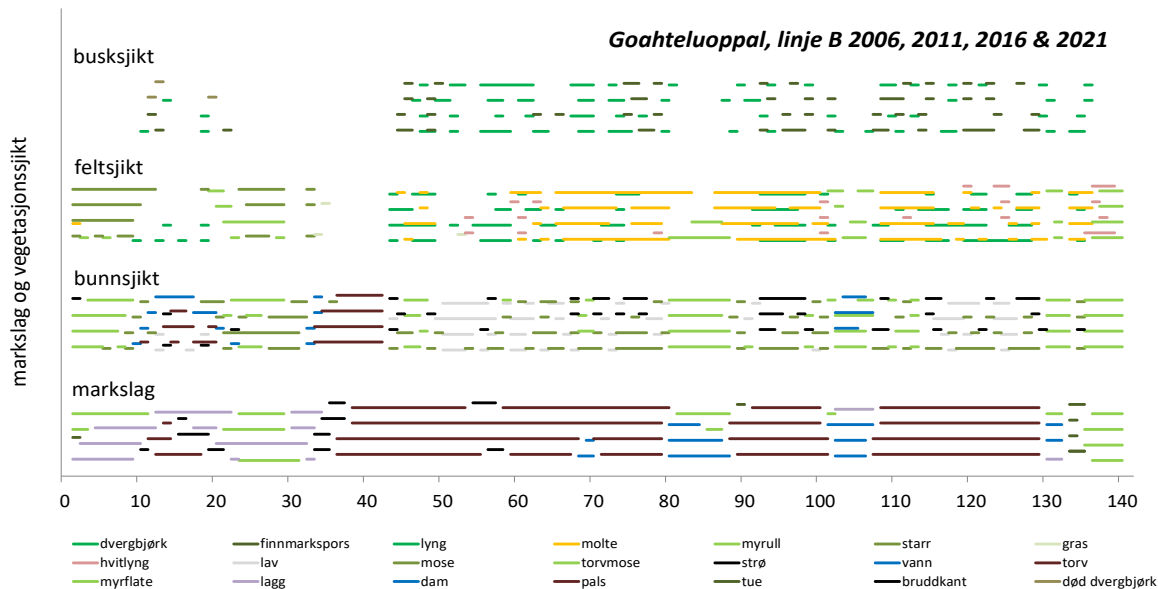
Tabell 6. Frekvensen av sprekker langs linjene, fordelt på sprekkbredde og antall per meter totalt for linjene og per breddekategori. Bruddkant er gitt i total lengde (m) og inngår ikke i beregningen av antall sprekker per meter. I 2016 er kun linje B-D inkludert (se kapittel 3.5). © NINA 2022.

Linje- navn*	Antall sprekker								Antall pr kategori															
	totalt				pr meter				0-10 cm				11-20 cm				21-50 cm				bruddkant			
	2006	2011	2016	2021	2006	2011	2016	2021	2006	2011	2016	2021	2006	2011	2016	2021	2006	2011	2016	2021	2006	2011	2016	2021
A (320)	13	20	6		0,04	0,06	0,02		6	17	3		5	2	2		2	2	1					2
B (140)	4	5	13	1	0,03	0,04	0,09	0,01	2	1	9	1	1	1	3		1	3	1		11	8	6	7
C (100)	2	4			0,02	0,04			1	2			1	2							5	2	6	5
D (50)	1				0,02								1								2	2	1	1
E (81)		1	1		0,01	0,01							1	1										
F (50)	7	7	3		0,14	0,14	0,06		5	3			3	1	2	1	2	1	2	4				2
G (50)	3	4			0,06	0,08			2	3			1	1										
Sum A-G	30	41	13	11	0,31	0,37	0,09	0,10	16	26	9	4	9	10	3	4	5	6	1	3	22	12	13	17

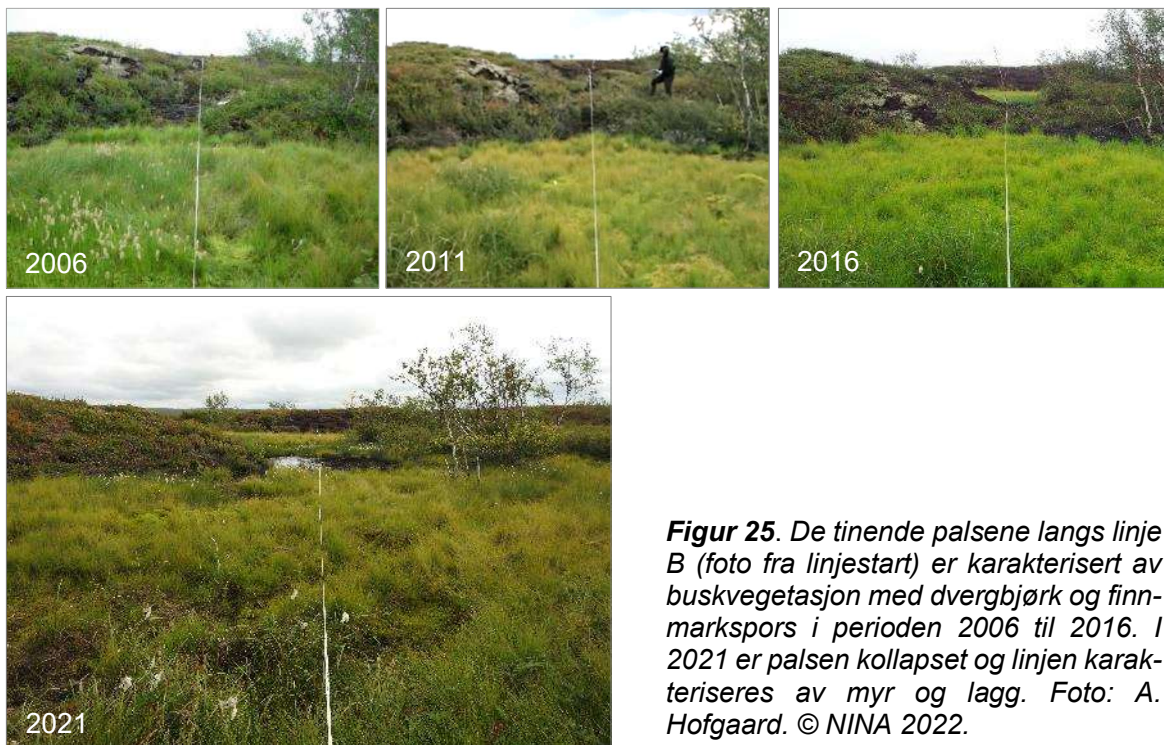
*antall meter angitt i parentes



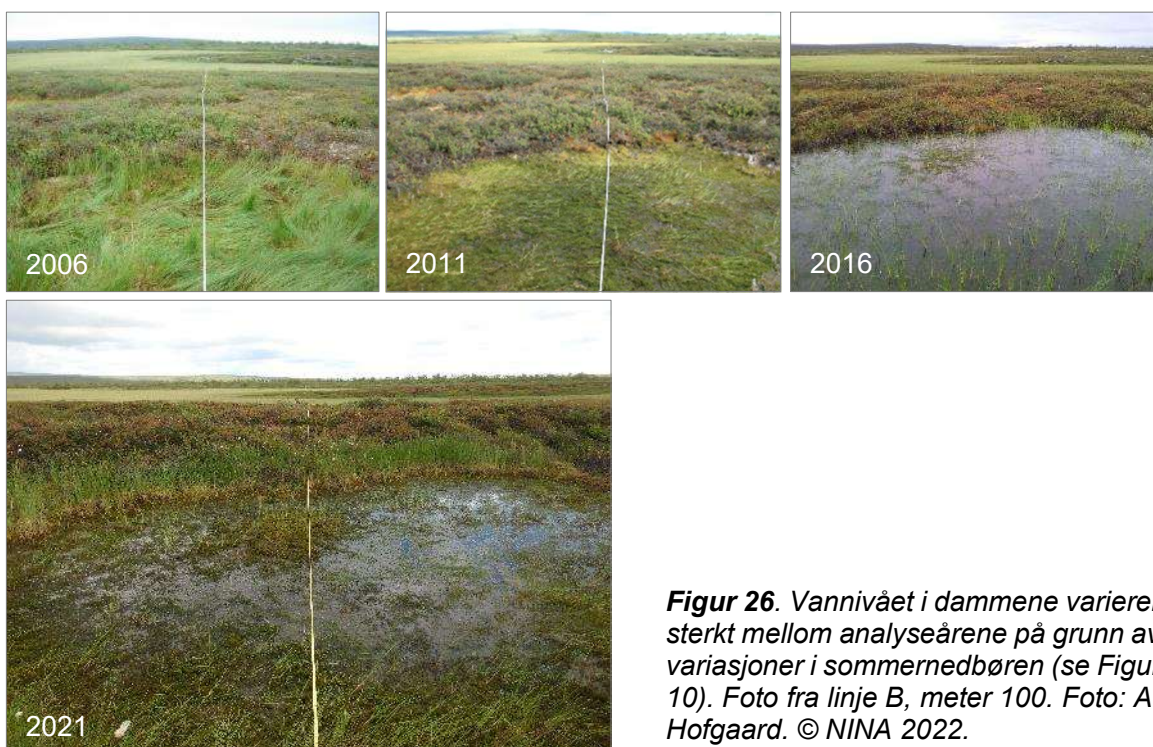
Figur 23. Høydestruktur og dybde til tele for linje B i 2006, 2011, 2016 og 2021. Brune linjer viser markshøyde og blå linjer teleforekomstens dybdenivå under overflaten. Merk at maksimalt høydenivå ble målt noe forskjellig i de tre årene (pga. myras helling). © NINA 2022.



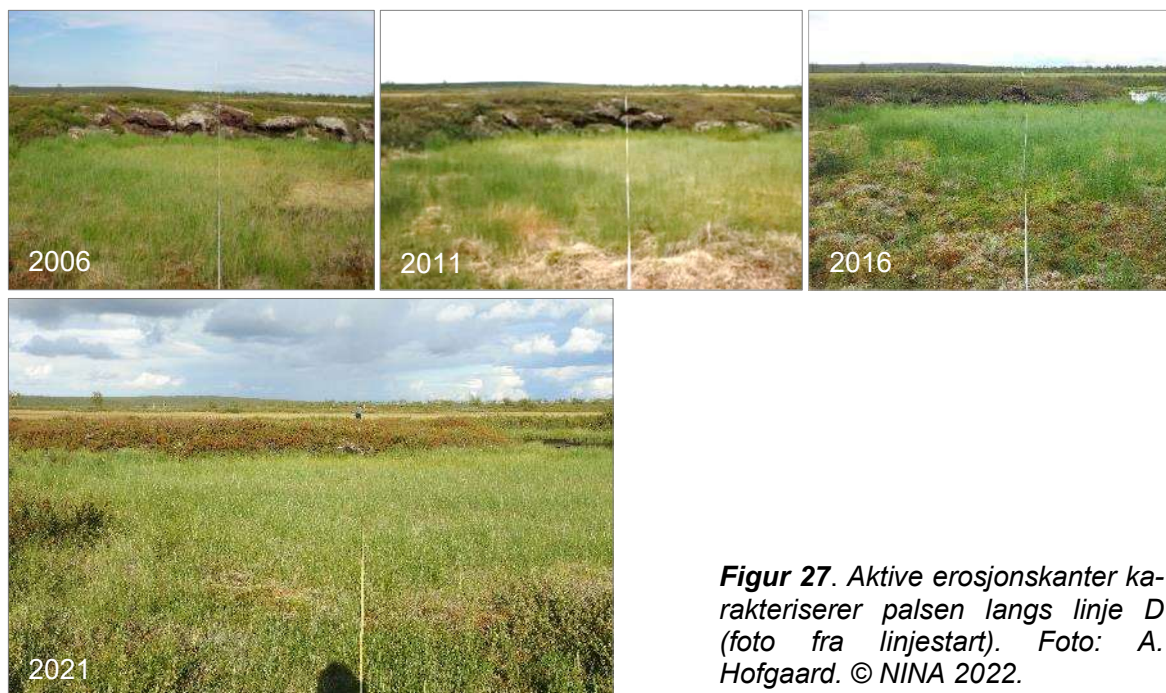
Figur 24. Fordeling av dominerende vegetasjon innenfor hvert vegetasjonssjikt og hvordan den endres i henhold til markslag og mellom år; vist for linje B i 2006, 2011, 2016 og 2021. De fire grupperingene med linjer viser markslagsvariabler (nedre linjegruppering), bunnsjiktsvariabler (nest nederst), feltsjiktsvariabler (nest øverst) og busksjiktsvariabler (øverst). Innen hver gruppering vises informasjon for 2006 nederst, 2011 og 2016 i midten og 2021 øverst. Fargekodenes betydning vises nederst i figuren. © NINA 2022.



Figur 25. De tinende palsene langs linje B (foto fra linjestart) er karakterisert av buskvegetasjon med dvergbjørk og finnmarkspors i perioden 2006 til 2016. I 2021 er palsen kollapset og linjen karakteriseres av myr og lagg. Foto: A. Hofgaard. © NINA 2022.



Figur 26. Vannivået i dammene varierer sterkt mellom analyseårene på grunn av variasjoner i sommernedbøren (se Figur 10). Foto fra linje B, meter 100. Foto: A. Hofgaard. © NINA 2022.



Figur 27. Aktive erosjonskanter karakteriserer palsen langs linje D (foto fra linjestart). Foto: A. Hofgaard. © NINA 2022.

4.2.3 Artsfrekvens

Variasjonen i busk-, felt- og bunnsjikt ble i 2021 analysert for 18 palsoverflatelinjer og sammenlignet med 2006 (12 linjer), 2011 (18 linjer) og 2016 (9 linjer; se kapittel 3.5 for antall linjer per år). Vegetasjonen på palsene er i alle fire årene karakterisert av dvergbjørk og finnmarkspors i busksjiktet, molte og krekling i feltsjiktet, og av strø, lav og mose i bunnsjiktet. Tilsammen dekker busk- og feltsjiktene ca. 60-70 % av overflaten i årene 2006 til 2021, selv om frekvensen for de dominerende artene varierer noe mellom årene. Samlet har busksjiktet dominert vegetasjon blitt noe redusert fra 2006 til 2021 samtidig som feltsjiktet dominert vegetasjon har økt og bunnsjiktet dominerte områder har avtatt med ca. 20 % (**Tabell 7**). Et lavt og glissent busksjikt av dvergbjørk og finnmarkspors forekommer over store deler av de høyere palsene og langs analyselinjene (**Figur 28**), samtidig som et høyere busksjikt karakteriserer lavere pals, forsengkninger og helling mot lavereliggende myrområder (**Figur 29**).

Det er til dels tydelige endringer i enkelte feltsjiktarters frekvens mellom 2006 og 2021, selv om feltsjiktet totalt kun viser små endringer. Noen av de mest påfallende frekvensendringene er økningen i molte og krekling over hele perioden, reduksjon av tyttebær og økningen av kvitlyng i 2011 etterfulgt av reduksjon i 2016 (**Tabell 7**). Nedgangen i bunnsjiktet dominert vegetasjon skyldes først og fremst nedgang i frekvensen av både lav og mose. Nedgangen i lav merkes tydelig på lave pals (**Figur 29**). I tillegg til disse endringene indikerer forekomst av tranebær og torvmose i 2011 og 2016 at overflatemiljøet er relativt fuktig og som kan ha påvirket frekvensen av lav. Imidlertid er registrerte endringer, særlig for arter med liten forekomst eller liten endring, usikre ettersom variasjonen i artslinjenes plassering mellom undersøkelser årene kan påvirke resultatene.

Tabell 7. Endring i palsoverflatens busk-, felt- og bunnsjikts-sammensetting, Goahteluoppal 2006, 2011, 2016 og 2021. © NINA 2022.

Vegetasjons-sjikt	% dekning				% endring per 5års-periode			% endring 2006-2021
	2006	2011	2016	2021	I	II	III	
Busksjikt	22,2	17,2	34,0	15,9	-22,3	97,4	-53,3	-28,3
Dvergbjørk	15,3	8,7	15,8	5,7	-43,5	82,1	-64,1	-63,0
Finnmarkspors	6,8	8,6	18,2	10,2	25,2	113,0	-43,9	49,6
Feltsjikt	36,5	39,7	37,6	51,4	8,7	-5,3	37,0	40,9
Molte	11,5	12,2	15,1	22,7	6,3	23,6	50,0	97,1
Blokkebær	1,2	1,1	1,6	2,2	-4,8	40,0	42,9	90,5
Tyttebær	9,0	4,7	5,3	2,8	-48,1	14,3	-47,9	-69,1
Krekling	13,0	17,0	12,9	20,8	30,8	-24,2	61,2	59,8
Tranebær	0	0,3	0,9	0	+	166,7	-100,0	0
Kvitlyng	1,8	4,3	1,6	3,0	136,4	-64,1	92,9	63,6
Myrullarter	0	0	0,2	0	0	+	-100,0	0
Bunnsjikt	41,3	43,1	28,4	32,7	4,3	-34,0	14,8	-21,0
Død torv	2,0	0,3	0	0	-83,3	-100	0,0	-100,0
Lav	15,5	15,1	4,2	6,8	-2,5	-72,1	60,5	-56,3
Mose	8,5	10,1	7,1	8,3	19,0	-29,7	17,2	-2,0
Torvmose	0	1,8	1,3	0	+	-25,0	-100,0	0
Strø	15,3	15,8	15,8	17,6	2,9	0	11,3	14,5

*Beregnet på 12 linjer i 2006, 18 linjer i 2011, 9 linjer i 2016 og 18 linjer i 2021 (se kapittel 3.5)



Figur 28. Et lavt busksjikt med dvergbjørk og finmarkspors karakteriserer palsene i Goahteluoppal sammen med krekling og molte i feltsjiktet og lav og strø i bunnsjiktet (bildet er fra linje A, meter 250, 2021). Foto: A. Hofgaard. © NINA 2022.



2006



2011



2016

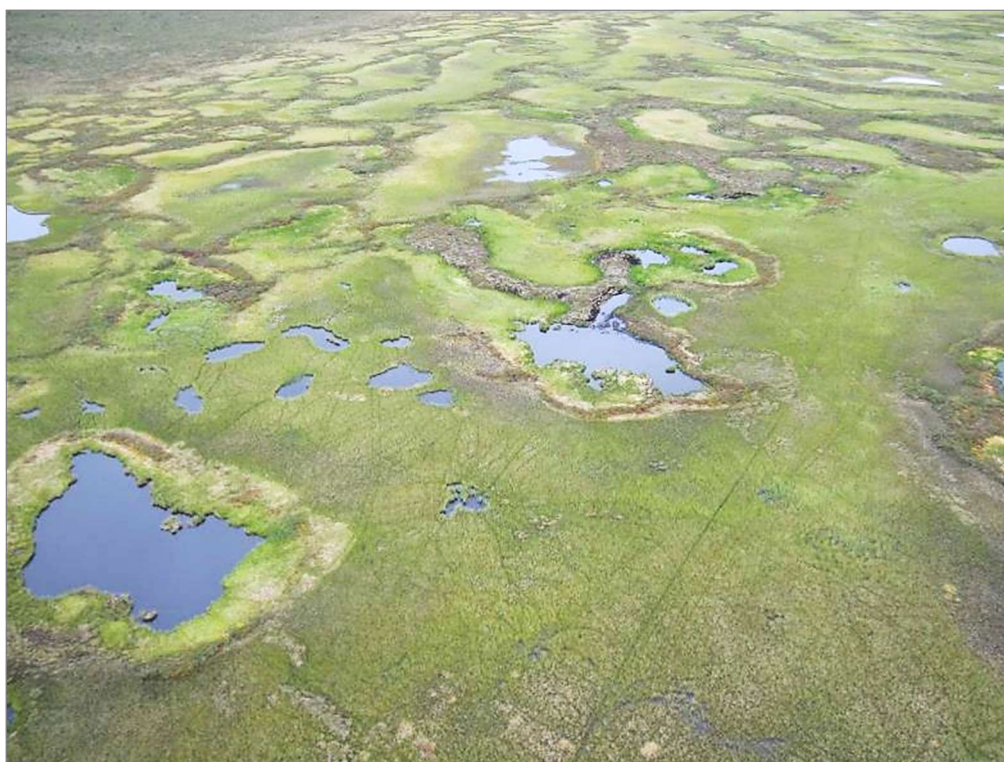


2021

Figur 29. Vegetasjonen i busk-, felt- og bunnsjikt endres med avtagende palshøyde. Goahteluoppal ved slutten av linje D: 2006, 2011, 2016 og 2021. Foto: A. Hofgaard. © NINA 2022.

4.3 Menneskelig påvirkning

Palsområder er meget sårbare for menneskelige aktiviteter som påvirker de hydrologiske forholdene rundt palsene eller palsoverflatene. Påførte skader kombinert med økt klimatisk marginalisering grunnet endringer i klimaet gjør at også en beskjeden menneskelig påvirkning kan virke destabiliserende. Palsene i Gohteluoppal-området har imidlertid ikke vist noen tegn på at dokumenterte endringer som kan knyttes til menneskelig aktivitet, men områdene rundt palsene er brukt til ulike typer av motorisert ferdsel. Dette vises tydelig langs kartfestede kjøretraseer og spredte tilfeldige kjøretraseer (**Figur 30**) som ser ut til å ha økt siden overvåkingen startet. Samlet gjør dette at vegetasjonsskader forårsaket av barmarkskjøring og kjøring seint i vinterseongen når snøen er delvis borte, er relativt vanlige i Gohteluoppal. Se også **Figur 21** der bildet fra 2006 kun viser sportraseer fra fugl (sangsvane og andre fugler) der de beveger seg mellom dammene. Bildene fra 2011 viser i tillegg spor etter firhjulings- og snøskuterkjøring (**Figur 21** og **30**).



Figur 30. Kjørespor etter motorisert ferdsel vises tydelig i myrområdene nord for Gohteluoppal Fjellstue der det tidligere kun var sportraseer fra fugl. Bildet er fra 2011. Foto: A. Hofgaard. © NINA 2022.

5 Diskusjon

Overvåkingen av palsmyrområdene i Goahteluoppal har vist raske endringer i palsenes struktur, permafrostens utbredelse og vegetasjonssammensetning på palsene. Imidlertid, og til tross for det stadig mer ugunstige klimaet, viser overvåkning også at det er betydelig tregghet i systemet. Flybilder fra 1958 viser omfattende utbredelse av store palser, men også tegn på pågående palsreduksjon som følge av klimaoppvarming før 1950-tallet. Størparten av nåværende palsutbredelse innen de nordvest-europeiske og subarktiske områdene har sin opprinnelse i den lille istid, en kjølig periode fra ca. 1450 til 1880 (Grove 1988, Vorren & Vorren 1976, Payette et al. 2004). 1900-tallets betydelig varmere og generelt fuktigere klima har vært ugunstig for vekst og overlevelse av palser (Laberge & Payette 1995, Payette et al. 2004). Den første temperaturstigningen etter slutten av den lille istid, dvs. mellom midten av 1910-tallet og slutten av 1930-tallet, var omtrent like omfattende og rask som den i nyere tid (Hanssen-Bauer et al. 2015). Det er trolig at sporene etter tidligere palser, som vises som gjengroende dammer og torvringer i de eldste flybildene fra 1958, er forårsaket av den klimatiske oppvarmingen tidlig på 1900-tallet. Det er også trolig at frekvensen av dammer i myrlandskapet før den tid var svært lav.

Palsfrekvens og palsstørrelse i to av de utvalgte delområdene i Goahteluoppal viser relativt liten endring i overvåkingsperioden fra 2006 til 2021, men det tredje området karakteriseres av sterk reduksjon. I tillegg viser overvåkingen at en relativt rask palsreduksjon preger de våtere og utilgjengelige delene av Goahteluoppal. Langtidsendringene i regionens klima styrer dynamikken i palsmyrsystemene, sammen med klimatiske ulikheter mellom år og eventuelle direkte menneskelige påvirkninger. Til tross for økt antall kjørespor i Goahteluoppal-området viser ikke palsene noen tydelige tegn på menneskelige forstyrrelser. Dette betyr sannsynligvis at dagens menneskelige aktivitet i myrområdet ikke har hatt påvirkning på de hydrologiske forholdene. Man kan følgelig regne med at de dokumenterte endringene fra 2006 til 2021 hovedsakelig har en klimatisk årsak.

Selv om registreringene av den totale frekvensen av tele langs linjene tyder på en langsom reduksjon, viser bildene tatt fra helikopter en relativt omfattende reduksjon av permafrostens utbredelse i områder som ikke er tilgjengelige for linjeanalyser. Samlet viser dette palsmyrendringenes komplekse karakter. Den totale tiningen av en av palsene langs linjene og tilbakegang av de større palsene i de våtere områdene i Goahteluoppal er et resultat av en prosess som har pågått over lang tid og er i tråd med endringene mot et allerede varmere og fuktigere klima. Siden midten av 1980-tallet har årsmiddeltemperaturen økt med nesten 2,5 °C selv om den fortsatt ligger under 0 °C. Denne temperaturutviklingen er ugunstig for palsenes vekst og overlevelse.

Palsformasjoner i de våteste delene av myrene er mest følsomme for denne type klimaendring. Store palser i tørrere deler av myrene vil kunne eksistere over lengre tid, også i et ugunstig klima. Det er trolig at den relativt sett mer balanserte dynamikken i myras palsstruktur, som er dokumentert for to av delområdene med linjeanalyser, kan forklares av forskjellene i myrenes struktur. Men det er også trolig at dersom trenden i regionens klima fortsetter vil permafrostforandringene kunne bli endret til et raskere forløp også i disse områdene, enn det som er avdekket i overvåkingsperioden. Klimaendringer som har pågått over lang tid har ført til, og fører til, endringer som kan registreres. Selv om temperaturutviklingen for området siden begynnelsen til slutten av 1900-tallet hovedsakelig viser svingninger uten tydelig langsiktig trend (**Figur 8**), så kan det ikke utelukkes at disse temperaturvariasjonene har hatt betydning. Imidlertid er det mer sannsynlig at den langsiktige økningen i nedbør (**Figur 10**) siden begynnelsen av 1900-tallet har vært mer avgjørende for reduksjon i palsstørrelse innen særlig de våtere områdene. Denne prosessen er styrket i løpet av de siste ti årene når både temperatur og nedbør har økt markant.

Til tross for et over flere tiår forverret klima for palsoverlevelse og palsvekst, så viste områder med død vegetasjon i 2011 at ny permafrostutvikling kan forekomme. Det er imidlertid lite trolig at nydannelse eller vekst av palsene vil kunne kompensere for tapet av eldre palsformasjoner, selv om embryonale palser kan forekomme tilfeldig.

De registrerte forandringene i dybde til tele, og til dels telens utbredelse, kan trolig også skyldes ulike værforhold mellom analyseårene. I de fire årene dybden til tele ble målt, var årstemperaturen en halv til en grad kaldere i 2021 enn tidligere år (-1,4 °C i 2006; -0,4 °C i 2011; -0,7 °C i 2016; -1,8 °C i 2021), men den mest betydningsfulle klimatiske forskjellen mellom analyseårene er at vintertemperaturen i 2011 var ca. 3-4 °C kaldere enn i de andre årene (-13,3 °C i 2006; -16,1 °C i 2011; -13,2 °C i 2016; -11,8 °C i 2021) kombinert med at vinternedbøren var betydelig lavere sammenlignet med de andre årene (96 mm i 2006; 59 mm i 2011; 139 mm i 2016; 79 mm i 2021). Disse værforskjellene mellom år er betydningsfull for hastigheten og trenden i den langsiktige utviklingen, men det er stor usikkerhet omkring både hvor stor betydning værforholdene har for årlig variasjon i permafrostens utbredelse og for hastigheten til den langsiktige trenden (Fronzek et al. 2009, Sannel 2010).

Selv om dybden ned til telen var den samme i 2006 og 2021 viser de to andre analyseårene at denne dybdevariabelen kan variere mellom år. Følgelig gir ikke dataene grunnlag for å trekke en sikker konklusjon om forskjellene representerer en endring over tid eller at den kun skyldes ulike værforhold mellom år. Været, både temperatur og nedbør, i de enkelte somre og vintre styrer dybden til tele mer enn trenden i klimaet. For eksempel må man helt tilbake til begynnelsen av 1980- og 1930-tallet for å finne tilsvarende tynt snødekke over en rekke av år som ved starten av overvåkingen (**Figur 11**), men variasjonen mellom enkelte år er stor, noe som tydelig vises de siste årene.

De relativt beskjedne endringene over analyseperioden tyder på at palsmyrbiotopen i Goahte-luoppal sannsynligvis vil eksistere i mange tiår fremover, særlig i de tørrere delene av området. Denne vurderingen tar imidlertid ikke hensyn til en eventuell generell endring av telens dybdeposisjon og vegetasjon på palsene som vil kunne endre hastigheten til prosessen betraktelig. Selv om palser vil eksistere i det studerte området i mange tiår, vil permafrostnedgangen føre til tydelige og økologisk viktige endringer. Dette fordi de nåværende palsdominert myrene vil bli forvandlet til myrer dominert av myrflate og gjengroende dammer, men nesten uten nydannelse av dammer.

Artsfrekvensanalysene viser at det i 2021 var litt lavere andel busksjiktsarter enn i 2006, men større andel feltsjiktsarter, særlig molte og krekling. Samtidig er lavdominerte områder redusert i overvåkingsperioden. Disse artsendringer, særlig endringene i feltsjiktet og frekvens av lavdekke er tegn på en ugunstig utvikling for langsiktig overlevelse av eldre palser. Tilstedeværelse av et lavt busksjikt og sammensetningen av felt- og bunnsjikt er av betydning for telens utvikling, og de registrerte endringene i vegetasjonen kan få negativ påvirkning på telenivået. Økningen av molte, som er begunstiget av kantsoner og lave forsenkninger i palsenes overflate, vil på sikt gi ytterligere endringer i palsoverflatens småskalastruktur – dvs. økt frekvens av forsenkninger og tuer. Disse endringen av overflatestrukturen gir et tykkere, mer kontinuerlig og mer isolerende snødekke om vinteren. Mer snø reduserer den nødvendige avkjølingen av palsene om vinteren. En reduksjon av lavdekket har størst betydning om sommeren da dette reduserer refleksjonen av solas varmestråling, noe som vil lede til økt oppvarming av palsene. De to prosessene kan sammen gi stor negativ påvirkning på palsoverlevelsen, og i et varmere klima øker betydningen av palsoverflatens vegetasjon for palsenes overlevelse.

6 Tidsplan

Den nasjonale overvåkingen har siden starten i 2004 inkludert etablering og førstegangsanalyser av ett overvåkingsområde per år, med start i Ostojeaggi. I løpet av overvåkingens første fem år (2004 til 2008) ble alle overvåkingsområder (se **Figur 5**) analysert etter planen vist nedenfor. Deretter er alle fem områder gjenanalysert etter fem år (2009 til 2013), og etter ti år (2014 til 2018). Tredje gjenanalyse etter femten år foregår i perioden 2019 til 2023. Gohteluoppal i Vest-Finnmark 2021, er presentert i denne rapporten. Overvåkingsprogrammet planlegges videreført etter tilsvarende system. Overvåkingen rapporteres med årlige rapporter til Miljødirektoratet (se **Referanseliste 7.1**).

Førstegangsundersøkelse	2004	Ostojeaggi
	2005	Dovre: Haukskardmyrin og Haugtjørnin
	2006	Gohteluoppal
	2007	Dovre: Leirpullan
	2008	Ferdesmyra
Gjenanalyse I	2009	Ostojeaggi
	2010	Dovre: Haukskardmyrin og Haugtjørnin
	2011	Gohteluoppal
	2012	Dovre: Leirpullan
	2013	Ferdesmyra
Gjenanalyse II	2014	Ostojeaggi
	2015	Dovre: Haukskardmyrin og Haugtjørnin
	2016	Gohteluoppal
	2017	Dovre: Leirpullan
	2018	Ferdesmyra
Gjenanalyse III	2019	Ostojeaggi
	2020	Dovre: Haukskardmyrin og Haugtjørnin
	2021	Gohteluoppal
	2022	Dovre: Leirpullan
	2023	Ferdesmyra

7 Referanser

7.1 Rapporter fra overvåkingsprogrammet

- Hofgaard, A. 2003. Effects of climate change on the distribution and development of palsa peatlands: background and suggestions for a national monitoring project. NINA Project Report 21. Norsk institutt for naturforskning. <https://hdl.handle.net/11250/2979941>
- Hofgaard, A. 2004. Etablering av overvåkingsprosjekt på palsmyrer. NINA Oppdragsmelding 841. Norsk institutt for naturforskning. <https://hdl.handle.net/11250/2979936>
- Hofgaard, A. 2005. Overvåking av palsmyr. Førstegangsundersøkelse i Ostojeaggi, Troms 2004. NINA Rapport 42. Norsk institutt for naturforskning. <http://hdl.handle.net/11250/2431988>
- Hofgaard, A. 2006. Overvåking av palsmyr. Førstegangsundersøkelse i Dovre 2005, Haukskard-myryn og Haugtjørnin. NINA Rapport 154. Norsk institutt for naturforskning. <http://hdl.handle.net/11250/2433996>
- Hofgaard, A. 2007. Overvåking av palsmyr. Førstegangsundersøkelse i Gohteluoppal, Vest-Finnmark 2006. NINA Rapport 257. Norsk institutt for naturforskning. <http://hdl.handle.net/11250/2443962>
- Hofgaard, A. 2008. Overvåking av palsmyr. Førstegangsundersøkelse i Leirpullan, Sør-Trøndelag 2007. NINA Rapport 364. Norsk institutt for naturforskning. <http://hdl.handle.net/11250/2467514>
- Hofgaard, A. 2009. Overvåking av palsmyr. Førstegangsundersøkelse i Ferdesmyra, Øst-Finnmark 2008. NINA Rapport 476. Norsk institutt for naturforskning. <http://hdl.handle.net/11250/2394410>
- Hofgaard, A. & Wilmann, B. 2010. Overvåking av palsmyr. Første 5-årsundersøkelse i Ostojeaggi, Troms, 2009. NINA Rapport 586. Norsk institutt for naturforskning. <http://hdl.handle.net/11250/2642332>
- Hofgaard, A. & Wilmann, B. 2011. Overvåking av palsmyr. Første 5-årsundersøkelse i Haukskardmyrin og Haugtjørnin, Dovre. NINA Rapport 717. Norsk institutt for naturforskning. <http://hdl.handle.net/11250/2642713>
- Hofgaard, A. & Myklebost, H.E. 2012. Overvåking av palsmyr. Første gjenanalyse i Gohteluoppal, Vest-Finnmark. Endringer fra 2006 til 2011. NINA Rapport 841. Norsk institutt for naturforskning. <http://hdl.handle.net/11250/2467742>
- Hofgaard, A. & Myklebost, H.E. 2013. Overvåking av palsmyr. Første gjenanalyse i Leirpullan, Dovrefjell i Sør-Trøndelag. Endringer fra 2007 til 2012. NINA Rapport 958. Norsk institutt for naturforskning. <http://hdl.handle.net/11250/2385313>
- Hofgaard, A. & Myklebost, H.E. 2014. Overvåking av palsmyr. Første gjenanalyse i Ferdesmyra, Øst-Finnmark. Endringer fra 2008 til 2013. NINA Rapport 1035. Norsk institutt for naturforskning. <http://hdl.handle.net/11250/2380330>
- Hofgaard, A. & Myklebost, H.E. 2015. Overvåking av palsmyr. Andre gjenanalyse i Ostojeaggi, Troms. Endringer fra 2004 til 2014. NINA Rapport 1164. Norsk institutt for naturforskning. <http://hdl.handle.net/11250/2383802>
- Hofgaard, A. & Myklebost, H.E. 2016. Overvåking av palsmyr. Andre gjenanalyse i Haukskardmyrin og Haugtjørnin, Dovre. Endringer fra 2005 til 2015. NINA Rapport 1258. Norsk institutt for naturforskning. <http://hdl.handle.net/11250/2388677>
- Hofgaard, A. & Myklebost, H.E. 2017. Overvåking av palsmyr. Andre gjenanalyse i Gohteluoppal, Vest-Finnmark. Endringer fra 2006 til 2016. NINA Rapport 1353. Norsk institutt for naturforskning. <http://hdl.handle.net/11250/2444110>
- Hofgaard, A. & Myklebost, H.E. 2018. Overvåking av palsmyr. Andre gjenanalyse i Leirpullan, Dovrefjell i Trøndelag. Endringer fra 2007 til 2017. NINA Rapport 1510. Norsk institutt for naturforskning. <http://hdl.handle.net/11250/2502870>

- Hofgaard, A. & Myklebost, H.E. 2019. Overvåking av palsmyr. Andre gjenanalyse i Ferdesmyra, Øst-Finnmark. Endringer fra 2008 til 2018. NINA Rapport 1665. Norsk institutt for naturforskning. <http://hdl.handle.net/11250/2601448>
- Hofgaard, A., Kyrkjeeide, M.O. & Myklebost, H.E. 2020. Overvåking av palsmyr. Tredje gjenanalyse i Ostojeaggi, Troms. Endringer fra 2004 til 2019. NINA Rapport 1820. Norsk institutt for naturforskning. <https://hdl.handle.net/11250/2652655>
- Hofgaard, A., Kyrkjeeide, M.O. & Myklebost, H.E. 2020. Palsmyr – en naturtype vi er i ferd med å miste. NINA Temahefte 80. Norsk institutt for naturforskning. <https://hdl.handle.net/11250/2721415>
- Hofgaard, A., Kyrkjeeide, M.O. & Myklebost, H.E. 2021. Overvåking av palsmyr. Tredje gjenanalyse i Haukskardmyrin og Haugtjørnin, Dovre. Endringer fra 2005 til 2020. NINA Rapport 1980. <https://hdl.handle.net/11250/2738103>

7.2 Annen sitert litteratur

- ACIA 2005. Arctic climate impact assessment. – Cambridge University press, Cambridge.
- Baltzer, J.L., Veness, T., Chasmer, L.E., Sindehan, A.E. & Quinton, W.L. 2014. Forest on thawing permafrost: fragmentation, edge effects, and net forest loss. – *Global Change Biology* 20: 824-834.
- Beck, I., Ludwig, R., Bernier, M., Lévesque, E. & Boike J. 2015. Assessing permafrost degradation and land cover changes (1986-2009) using remote sensing data over Umiujaq, Sub-arctic Québec. – *Permafrost and Periglacial Processes* 26: 129-141.
- Biskaborn, B.K. et al. 2019. Permafrost is warming at a global scale. – *Nature Communications* 10: 264.
- Christensen, T.R., Johansson, T., Akerman, H.J., Mastepanov, M., Malmer, N., Friborg, T., Crill, P. & Svensson B.H. 2004. Thawing sub-arctic permafrost: Effects on vegetation and methane emissions. – *Geophysical Research Letters* 31. L04501.
- Farbrot, H., Isaksen, K., Etzelmüller, B. & Gisås, K. 2013. Ground thermal regime and permafrost distribution under a changing climate in Northern Norway. – *Permafrost and Periglacial Processes* 24: 20-38.
- Fronzek, S., Johansson, M., Christensen, T.R., Carter, T.R., Friborg, T. & Luoto, M. (eds.) 2009. Climate change impacts on sub-arctic palsa mires and greenhouse gas feedbacks. – *Reports of Finnish Environment Institute* 3/2009.
- Gisnås, K., Etzelmüller, B., Lussana, C., Hjort, J., Sannel, B.K., Isaksen, K., Westermann, S., Kuhry, P., Christiansen, H.H., Frampton, A. & Åkerman, J. 2017. Permafrost map for Norway, Sweden and Finland. *Permafrost and Periglacial Processes* 28: 359-378.
- Granmo, A. 1988. Goatteluobbal – et våtmarksområde i Kautokeino. Botaniske verdier. – TROMURA, Tromsø Museums rapportserie nr. 64. 71pp.
- Grove, J.M. 1988. *The Little Ice Age*. – Methuen, London.
- Hanssen-Bauer, I., Førland, E.J., Haddeland, I., Hisdal, H., Mayer, S., Nesje, A., Nilsen, J.E.Ø., Sandven, S., Sandø, A.B., Sorteberg, A. & Ådlandsvik, B. 2015. Klima i Norge 2100. Kunnskapsgrunnlag for klimatilpasning i 2015. – NCCS report no. 2/2015
- IPCC 2001. Working Group I Assessment Report, *Climate Change 2001: The Scientific Basis* (Summary for policymakers). – www.gcrio.org/online.html.
- IPCC. 2007. *Climate Change 2007: The Physical Science Basis: Summary for Policymakers*. 10th session of Working group I of the IPCC. – IPCC, Paris.

- Jones, M.C., Harden, J., O'Donnell, J., Manies, K., Jorgenson, T., Treat, C. & Ewing S. 2017. Rapid carbon loss and slow recovery following permafrost thaw in boreal peatlands. – *Global Change Biology* 23: 1109-1127.
- Laberge, M.-J. & Payette, S. 1995. Long-term monitoring of permafrost change in a palsas peatland in Northern Québec, Canada: 1983-1993. – *Arctic Alpine Research* 27: 167-171.
- Lauknes, T.R., Larsen, Y, Høgda, K.A., Tømmervik, H. & Hofgaard, A. 2012. Bruk av fjernmåling i palsmyrovervåking. – NINA Rapport 803. 36 pp.
- Lid, J. & Lid, D.T. 2005. Norsk flora. – Det Norske Samlaget. Oslo.
- Luoto, M., Heikkinen, R.K. & Carter, T.R. 2004. Loss of palsas mires in Europe and biological consequences. – *Environmental Conservation* 31: 1-8.
- Luoto, M. & Seppälä, M. 2002. Modelling the distribution of palsas in Finnish Lapland with logistic regression and GIS. – *Permafrost and Periglacial Processes* 13: 17-28.
- Luoto, M. & Seppälä, M. 2003. Thermokarst ponds as indicators of the former distribution of palsas in Finnish Lapland. – *Permafrost and Periglacial Processes* 14: 19-27.
- Markkula, I., Turunen, M. & Rasmus, S. 2019. A review of climate change impacts on the ecosystem services in the Saami Homeland in Finland. *Science of the Total Environment* 692. doi.org/10.1016/j.scitotenv.2019.07.272
- Moen, A. 1999. National Atlas of Norway. Vegetation. – Norwegian Mapping Authority, Hønefoss, Norway. 200 s.
- Nilsen, S. 2004. Foton fra småfly, fotografert av Stein Nilsen, Fylkesmann Finnmark, juni 2004.
- Payette, S., Delwaide, A., Caccianiga, M. & Beauchemin, M. 2004. Accelerated thawing of subarctic peatland permafrost over the last 50 years. – *Geophysical Research Letters*, Vol 31, L18208, doi:10.1029/2004GL020358. 4 s.
- Sannel, A. B. K. 2010. Temporal and spatial dynamics in subarctic peat plateaus and thermokarst lakes. – Doctoral Thesis in Physical Geography at Stockholm University.
- Sannel, A.B.K., Hugelius, G., Jansson, P. & Kuhry, P. 2015. Permafrost warming in a subarctic peatland – which meteorological controls are most important. – *Permafrost and Periglacial Processes* DOI: 10.1002/ppp.1862
- Sannel, A.B.K. & Kuhry, P. 2011. Warming induced destabilization of peat plateau/thermokarst lake complexes. – *Journal of Geophysical Research* 116: G03035
- Seppälä, M. 1986. The origin of palsas. – *Geografiska annaler*, A68, 141-147.
- Sollid, J.L. & Sørbel, L. 1998. Palsa bogs as a climate indicator – examples from Dovrefjell, Southern Norway. – *Ambio* 27: 287-291.
- The Habitats Directive 2007. Council Directive 92/43/EEC on the Conservation of natural habitats and of wild fauna and flora. Consolidated version 1.1.2007. – <http://ec.europa.eu/environment/nature/legislation/habitatsdirective>.
- Vorren, K.-D. & Vorren, B. 1976. The problem of dating a palsa. Two attempts involving pollen diagrams, determination of moss subfossil, and C14-datings. – *Astarte* 8: 73-81.
- Wramner, P., Backe, S., Wester, K., Hedvall, T., Gunnarsson, U., Alsam, S. & Eide W. 2012. Förslag till övervakningsprogram för Sveriges palsmyrar. – Länsstyrelsens rapportserie nr 16/2012. Länsstyrelsen i Norrbottens län.
- Øien, D.-I., Lyngstad, A. & Moen, A. 2018. Palsmyr, våtmark. Norsk rødliste for naturtyper 2018. Artsdatabanken, Trondheim. <https://artsdatabanken.no/RLN2018/150>
- Åhman, R. 1977. Palsar i Nordnorge. – *Medd. Lunds Univ. Geografiska Institutionens Avhandlingar* 78, pp 165.

8 Vedlegg 1: Klimatiske forutsetninger og endring av palsmyrer i tid og rom

Teksten nedenfor er hentet fra rapporten 'Etablering av overvåkingsprosjekt på palsmyrer' (Hofgaard 2004).

8.1 Sammansättning och struktur

En pals är en permafrostorsakad torvklädd kulle som höjer sig över den omgivande myrytan (**Figur V1**). Kullarnas höjd varierar från mindre än en meter till flera meters höjd och kan täcka en yta av många hundra kvadratmeter varav de större bildar palsplatåer (Laberge & Payette 1995, Sollid & Sørbel 1998).



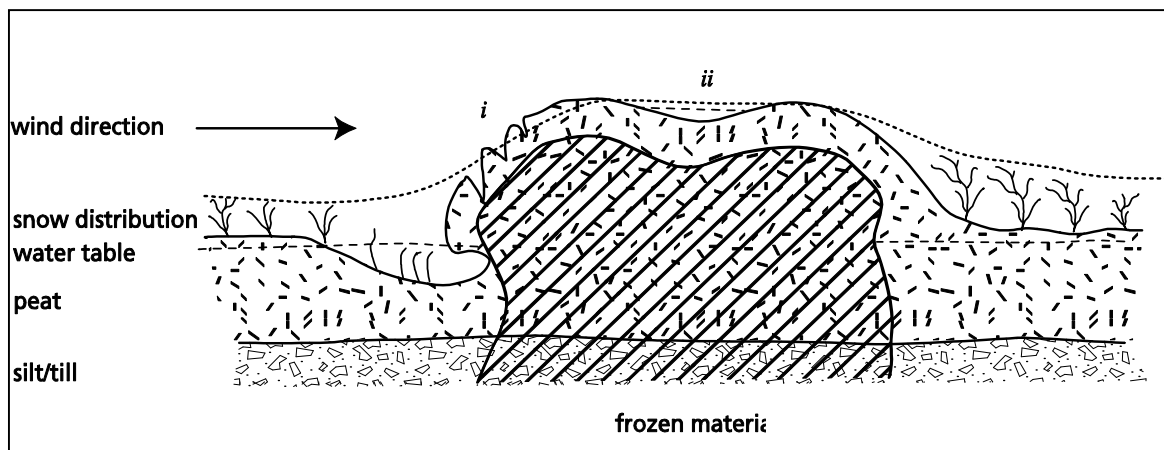
Figur V1. Kupolformad pals som höjer sig ca 2,5 m över den omgivande myrytan. Ferdesmyra, 5 juli 2004. Foto: A. Hofgaard. © NINA 2022.

Ordet pals härstammar från de finska och samiska språken och betyder torvkulle eller upphöjning i myr, men definitionen av ordet varierar något i den vetenskapliga litteraturen. Här i föreliggande rapport används definitionen "peat hummocks with a core of frozen peat and/or mineral soil rising to a height of 0.5 – 10 m above a mire surface within the discontinuous permafrost zone" (Seppälä 1988). I tillägg till palsar och palsplatåer karakteriseras palsmyrar av en mosaik av torvmark utan permafrost, våta starrområden, och dammar orsakade av tidigare palsar som tinat och fallit ihop, samt torvringar runt dessa dammar. Ett sådant palsmyrssystem är mycket dynamiskt över tid till följd av nybildning, tillväxt och nedbrytning av palsar. Alla dessa terrängformationer är naturliga komponenter i palsmyren tillsammans med tillfälliga eller embryonala permafrostformationer som endast höjer sig någon eller några decimeter över myrytan (Sollid & Sørbel 1998; kallas pounus i Seppälä 1998). Dessa små och/eller tillfälliga permafrostformationer kan periodvis utgöra ett signifikant bidrag till myrens struktur.

Frekvensen av de olika komponenterna ändras i både tid och rum (beskrivs utförligare nedan) och påverkar på så sätt vegetationsstrukturen på myrarna genom främst förändringar av hydrologiska faktorer, vindexponering och betetryck. Samtidigt som fördelningen av palsmyrens komponenter påverkar vegetationsstrukturen så återverkar vegetationens struktur på fördelningen av permafrosten genom påverkan på snöfördelning, markfuktighet och mark-temperatur.

Resultatet är att frekvensen träd-, busk-, ört-, gräs-, moss- och lavdominerad vegetation varierar på ett utpräglat mosaikartat sätt över myrarna. Denna variationsbredd i den abiotiska och biotiska miljön har en avgörande betydelse för palsmyrekosystemens struktur och funktion i tid och rum.

Palsarnas huvudsakliga morfologiska komponent är den frusna torvkärnan omgiven av säsongsfusen torv (**Figur V2**). Tjockleken på det omgivande torvlagret varierar från någon decimeter till mer än en meter både inom och mellan olika palsmyrområden. Under den nivå som påverkas av tjäle omges palsens frusna del av ofrusen torv. Beroende på myrens torvdjup och palsens utveckling så kan permafrosten nå ner till eller inkludera myrens sediment- eller moränunderlag. Myrens vattenhaltiga minerogena underlag kan på så sätt bidra till palsens höjdxpansion. I tillägg till frusen torv och sediment är islinser vanliga morfologiska strukturer i palsarna.



Figur V2. Palsuppbyggnad, grundvattennivå i omgivande myrmark, och snöns fördelning under högvintern. Palsens frusna kärna är omgiven av ofrusen torv under sommaren, och vegetationens struktur på och runt palsen är formad av vind och snöförhållanden under vintern. i) exponerad yta som utsätts för vind och erosion; ii) tillfällig vattensamling (källa: Hofgaard 2003). © NINA 2022.

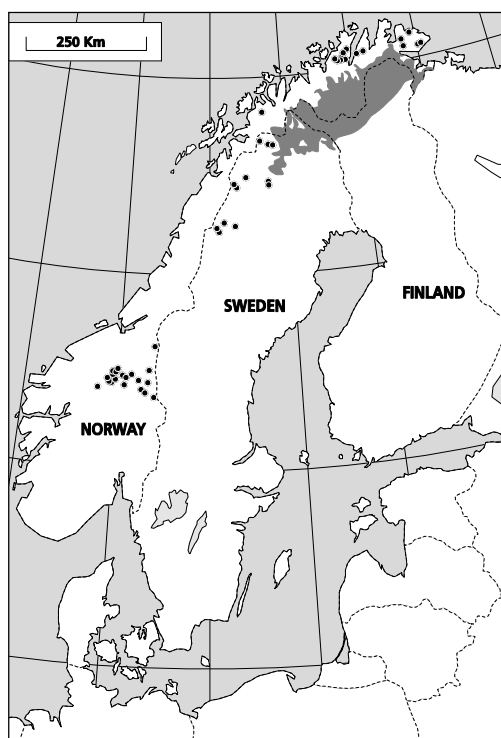
8.2 Utbredning och klimatiska förutsättningar

Palsmyrar förekommer i den circumpolära regionen med osammanhängande eller sporadisk permafrost i övergångszonen mellan boreala och arktiska/alpina områden. I detta vidsträckt område bildar palsar distinkta terrängformationer i subarktiska och subalpina myrmarker (Sepälä 1986, Laberge & Payette 1995). Utbredning indikerar ett nära samband med det periodiska och/eller årliga temperaturunderskottet som karaktäriserar övergångszonen mellan den slutna skogen och den arktiska eller alpina tundran. Palsar och palsplatåers lokala och regionala utbredningen i tid och rum styrs av hur lokala och regionala klimatfaktorer varierar och förändras över decennier och sekel, men även variationer på kortare sikt är av betydelse, t.ex. för förekomsten av små för det mesta kortlivade palsar, s.k. embryopalsar (som kan vara starten till nya mer långlivade palsar). Överlevnaden hos dessa palsar styrs av vädrets utveckling under individuella år (Seppälä 1998, Sollid & Sørbel 1998). Även om förutsättningarna för permafrostaggregering och permafrostdegenerering huvudsakligen styrs av förändringar i temperatur-nederbördsbalansen så kan i tillägg mänskliga och ingrepp som påverkar på torvens isolerande förmåga och myrens hydrologiska balans ha avgörande betydelse. Särskilt känsliga för påverkan är de palsmyrmarker som ligger nära den klimatiska gränsen för sin existens, dvs. den sydliga utbredningsgränsen för sporadisk permafrost.

Klimatets långsiktiga förändringar på det norra halvklotet under efteristiden (Holocene) visar på en dominerande trend med gradvis avkylning från tidig till sen holocen tid men avbruten av kallare och varmare perioder som avviker från huvudtrenden. Den senaste kallare perioden var den

några sekellånga så kallade Lilla Istiden som upphörde i slutet av 1800-tallet (Grove 1988, Bradley & Jones 1993). Sedan dess har åter en period med uppvärmning dominerat det norra halvklotet, även om stora tidsmässiga och geografiska variationer har präglat perioden (Houghton et al. 1996). Dessa storskaliga klimatiska förändringarna påverkar utbredningen av zonen med osammanhängande eller sporadisk permafrost och förekomst och fördelning av permafrostformationer inom zonen

I Norge förekommer palsar i myrmarker främst inom två regioner, en i söder och en i norr men med några fåtal lokala förekomster däremellan (**Figur V3**). Den södra regionen är mer eller mindre helt begränsad till Dovre – Femunden området medan den norra regionen är mer generell och täcker stora delar av Troms och Finnmarks fylken förutom kustnära områden. Den kontinentala eller lokalkontinentala klimattyp som är förhärskande i dessa områden är förutsättningen för bildning och överlevnad av palsar i denna annars relativt varma och fuktiga klimatregion som Skandinavien tillhör med sin starka inverkan av atlantiska luftmassor. Klimatförändringar som påverkar det regionala eller lokala inflytande av dessa luftmassor, det vill säga påverkar graden av oceanitet, kommer att påverka palsmyrarnas utbredning och struktur i Skandinavien. Följaktligen kommer palsmyrarnas ekologiska betydelse på landskaps- och ekosystemnivå därmed också att påverkas.



Figur V3. Palsmyrutbredning i Fennoskandien

(källa: Seppälä 1997, Sollid & Sørbel 1998). © NINA 2022.

De klimatiska gränserna som angetts för den Skandinaviska palsmyrutbredningen varierar i litteraturen beroende på vilka studieområden de utgår ifrån. Generellt sett så ligger den begränsande årsmedeltemperaturen något högre i norra Norge än i till exempel den svenska palsmyr-zonen. Orsaken till detta är troligen att de nordnorska områdena har både mindre årsnederbörd och vinternederbörd (se Zuidhoff & Kolstrup 2000). I Sverige förekommer palsar främst i en zon som avgränsas av en årsmedeltemperatur på -2 till -3°C och mindre än 300 mm nederbörd under vintern (Zuidhoff & Kolstrup 2000). I norra Norge förekommer de huvudsakliga palsmyrmarkerna inom områden som avgränsas av en årsmedeltemperatur på upp till +1°C men med en vinternederbörd på ca 100 mm eller mindre (Åhman 1977). I Finland följer palsaregionens södra gräns mer eller mindre isotermin för -1°C och en årsnederbörd som ligger under 400 mm (Seppälä 1986). I södra Norges fjällområden där några av de klimatiskt mest marginella palsmyrområdena finns ligger årsmedeltemperaturen på ca 0°C. Detta är troligen nära eller över den temperatur

som behövs för långsiktig överlevnad av palsmyrmarker (Sollid & Sørbel 1998) under rådande nederbördsregim (ca 450 mm per år). Dessa relativt stora skillnader i temperatur- och nederbördsavgränsningar mellan de olika Skandinaviska områdena pekar på en känslig och viktig balans mellan de olika årstidernas temperatur- och nederbörds klimat, och kräver stor grad av försiktighet vid jämförelse mellan utveckling av permafrostformationer och enskilda klimatvariabler, som t.ex. vinternederbörd.

8.3 Palsmyrdynamik

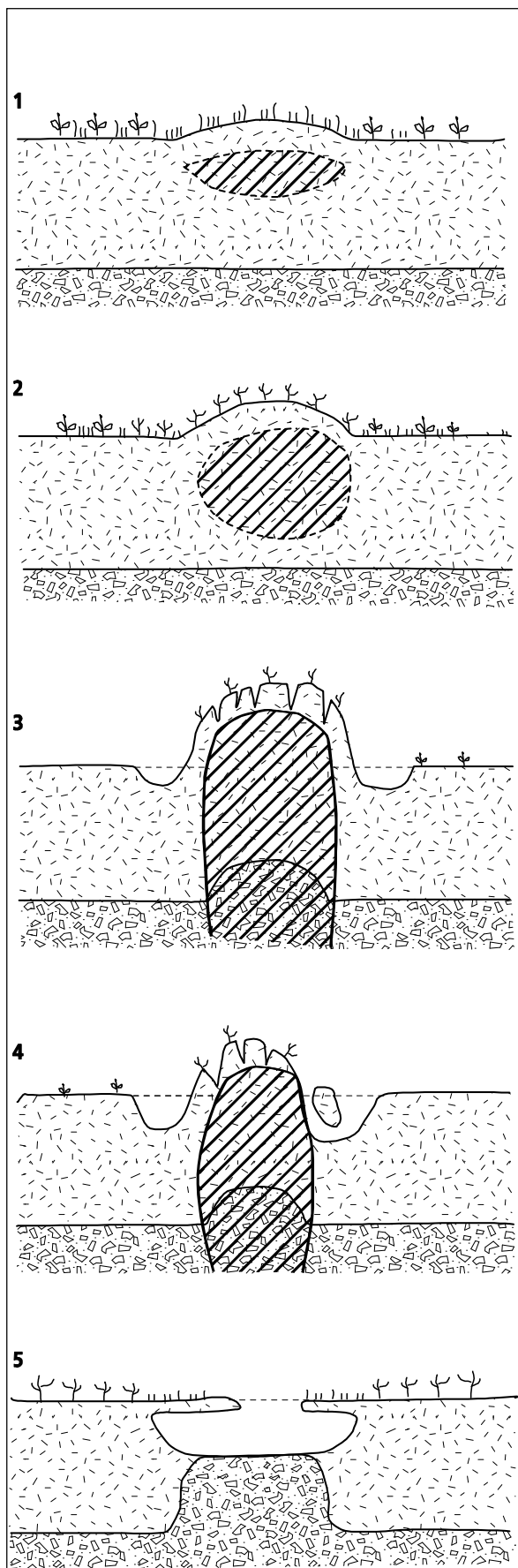
Lufttemperatur, snödjup och torvens isolerande förmåga är de tre dominerande faktorer som styr tillväxt och degenerering av palsar. Låga lufttemperaturer under både sommar och vinter är gynnsamt för palsutvecklingen, och snöns djup, fördelning och varaktighet under vintern är av essentiell betydelse för bildning och tillväxt av permafrost och islinser i myrmarken. Svala torra somrar gynnar bibehållandet och överlevnaden av palsar genom att torvens isolerande förmåga maximeras vid torra förhållanden vilket gör att värmeackumuleringen nedåt i palsen därmed blir minimerad och då särskilt under svala perioder. Varma fuktiga somrar har motsatt effekt och ökar nerbrytningsprocesser och försvinnande av palsar. Längre perioder med varmt och fuktigt klimat kan förvandla palsmyrmarker till myrmarker dominerade av våt moss- och starrvegetation och dammar men som huvudsakligen saknar torra upphöjda palsområden. Ett tjockt snötäcke hindrar kylan att tränga ner i myren och torven och en ökning av snötäckets tjocklek och varaktighet kan på så sätt hindra nybildning av palsar och gynna nedbrytning och försvinnande av permafrost i existerande palsar (Seppälä 1990, Zhang et al. 1990, Heimstra et al. 2002). Snödjup och torvtemperatur varierar emellertid lokal på grund av småskaliga variationer i topografi, vegetationsstruktur och vindens påverkan. I tillägg styr den inneboende successionen av utvecklingsstadier från initiering till förfall av individuella palsar dynamiken i palsmyrarna. Efter initiering och höjdtillväxt blir den upphöjda torven/palsen allt mer utsatt för erosion, en erosionsprocess som till slut orsakar total kollaps av palsen. Följaktligen så kommer påverkan av och interaktioner mellan de olika abiotiska och biotiska miljöfaktorerna att variera både i tid och rum. Palsmyrarnas utveckling kontrolleras således av komplexa relationer mellan edafiska, biotiska (vegetationsstruktur) och klimatiska förutsättningar.

8.3.1 Temporala förändringar

Både cykliska processer och episodiska händelser kan knytas till utvecklingen från initieringen till degenerering och kollaps av både kupolformade palsar och palsplattåter (Vorren 1972, Seppälä 1986, Zuidhoff 2002). Ett brett spektra av kunskap om dessa processer finns tillgänglig i den vetenskapliga litteraturen och konceptet med cyklisk palsutveckling som presenterats av bland andra Seppälä (1986) används som ram för den följande presentationen av olika utvecklingsstadier och processer (**Figur V4**).

1. Palsformation initieras vid låga vintertemperaturförhållanden och ett tunt snötäcke som tillåter kylan att tränga ner till ett tillräckligt stort djup så att den bildade tjälen inte hinner smälta helt under efterföljande sommar. På grund av den kvarvarande tjälen så höjer sig ytan något över den omgivande myren.

2. Det behövs en serie av år med liknande förhållanden för att den frusna kärnan ska växa i storlek. Upphöjningen på myrens yta ökar i höjd också genom att vatten i torvens hålrum bildar islinser. Vid detta stadium när de övre delarna av palsen är tydligt markerade över myrytan har vinden en betydande roll genom att torka ut ytskiktet och genom att minska snödjupet och varaktigheten under vintern. Genom upphöjningen kommer fuktighetsförhållandena att helt förändras i torvlagret vilket medför att vegetation strukturen förändras (artkomposition och frekvens). Ökad frekvens av lavar minskar ytterligare palsens absorption av värme under sommaren på grund av ökat albedo.



Figur V4. Palsutveckling. 1) Nybildning av palsar sker under vintrar med låga temperaturer och tunt snötäcke som tillåter kylan att tränga tillräckligt djup ner för att inte smälta helt under efterföljande sommar. På grund av den kvarvarande tjälen kommer myrytan att höja sig något. 2) Palsens höjd ökar under kalla och torra år. När den övre delen kommit ovanför den omgivande myrytan ökar vindens uttorkande effekt och snödjupet minskar vilket också medför att vegetationen förändras. Tillsamman gynnar de nya fuktighets och vegetationsförhållandena ytterligare tillväxt av palsen. 3) Palsen har nått sitt mognadsstadium när den frusna kärnan har expanderat ner till myrens underlag. Lokala förhållanden i myren och klimatiska förutsättningar styr palsens form, storlek och varaktighet i detta utvecklingsstadium. 4) Under palsens tillväxt bildas sprickor av ökande storlek och djup i torvtäcket, och ytan blir därmed exponerad för vind- och regnerosion. Detta medför också ökad värmetransport djupare ned i palsen. I tillägg bidrar ökande mängd med vatten runt palsen strakt till ytterligare nedbrytning. 5) Efter en fullständig kollaps syns lämningar av den gamla palsen eller palsområdena i form av cirkel- eller delvis cirkelformade kantryggar av torv, öppna dammar eller grupper av dammar, våta torvområden med mycket sparsam vegetation, och igenväxande områden. Under klimatiskt gynnsamma förhållanden kan nya palsar bildas i denna myrmiljö (Källa: främst Seppälä 1986).
© NINA 2022.

3. Palsen har nått sitt mognadsstadium när den frusna kärnan har expanderat ner till det morän- eller sedimentlager som utgör myrens underlag. Lokala förhållanden i myren och klimatiska förhållanden är avgörande för tillväxthastigheten och för palsens form, storlek och varaktighet i detta utvecklingsstadium. I norra Fennoskandien kan individuella palsar växa upp till ca 7 meters höjd (Seppälä 1986). Åldersdatering av torv från palsar i detta mognadsstadium visar på en stor åldersvariation genom zonen med osammanhängande eller sporadisk permafrost från några hundra år till några tusen (Vorren 1972, 1979, Zoltai 1993, Zuidhoff & Kolstrup 2000). Under den period som palsen växer till i storlek bildas det ofta en damm som kan komma att helt omge palsen.

4. Under palsens tillväxt bildas sprickor av ökande storlek och djup i torvtäcket. Dessa sprickor medför en ökad värmetransport djupare ned i palsen som med tiden kommer att föra till att torvblock lossnar från palsens kanter. Genom denna process med förlust av torv och vegetation från palsens yta blir den alltmer exponerad för vind- och regnerosion. I tillägg bidrar ökande mängd värmeackumulerande vatten runt palsen strakt till ytterligare nedbrytning och smältning av palsens kärna (Sollid & Sørbel 1998).

Vattenackumulation är en av de vanligaste orsakerna till erosion av palsar. När det gäller palsplataer så äger erosion rum både längs ytterkanter och på själva platån där försänkningar i ytan ger upphov till grunda vattensamlingar. Med tiden utvecklas vattensamlingarna till dammar som ytterligare ökar hastigheten på erosionsprocessen. I tillägg kan värmeackumulationen runt palsarna bidra till att upptiningen från botten ökar, och längre perioder (år, decennier) med sommar- och vinternederbörd över det normala har avgörande betydelse för bibehållande av palsar och permafrost.

5. Efter en fullständig kollaps syns lämningar av den gamla palsen eller palsområdet i form av cirkel- eller delvis cirkelformade kantryggar av torv, öppna dammar eller grupper av dammar, våta torvområden med mycket sparsam vegetation, och igenväxande områden. Under klimatiskt gynnsamma förhållanden kan nya palsar bildas i denna myrmiljö om både myrens torv- och hydrologiska förhållanden är i ett tillstånd som kan svara på klimatförhållanden som är gynnsamma för palsbildning (Laberge & Payette 1995).

Vid var och ett av de fem utvecklingsstadierna kan ogynnsamma väder- eller klimatförhållanden svänga utvecklingen eller förhindra ett tydligt cykliskt utvecklingsmönster. Till exempel så kan episodiska men dominerande erosionshändelser bli temporärt dominerande med mycket få tecken på cyklisitet.

8.3.2 Rumsliga förändringar

På den regionala skalan sätter dominerande klimatregimer gränserna för utbredning av palsmyrar och dess förändringar (se sektion 3). På den mindre landskapsskalan är förekomsten av myrmarker med lämpligt torvlager och lämpliga hydrologiska förhållanden avgörande för utbredningen (se sektion 2), och på den lokala skalan formar fördelningen av snö, de hydrologiska förhållandena, och vegetationsstrukturen utbredningen (se sektion 4.1). I tillägg är flera naturliga återverkningsmekanismer involverade på den lokala skalan. Till exempel, samtidigt som palsmyrens struktur och snöns fördelning är avgörande för utformningen av vegetationen så påverkar vegetationens struktur starkt den vindorsakade omfördelningen av snö, som i sin tur i stor utsträckning styr tillväxt och överlevnad av palsar.

Alla mänskliga aktiviteter som inverkar på palsmyrens hydrologiska förhållanden eller på vegetationens struktur kommer att på ett avgörande sätt påverka dess struktur. Ett ändrat betestryck kan till exempel genom att ändra vegetationsstrukturen förändra både torvens isolerande kapacitet och snöfördelningen, och bruket av terrängfordon kan förändra de hydrologiska förutsättningarna runt enskilda palsar och i myrmarkerna som helhet genom söndertrasning av torv och

rotsystem. Följaktligen blir de lokala miljöförutsättningarna för palsförekomst, tillväxt och nedbrytning förändrade.

På alla de tre rumsliga skalorna kommer klimatförändringar att orsaka förändringar i fördelningen av palsar, palsplataer, dammar, våtmyrområden och olika vegetations typer. Av särskilt stor betydelse är förändringar i graden av oceanicitet som är en nyckelfaktor med stark inverkan på förekomst och frekvens av palsar, palsmyrmarker och vegetations typer lokalt och regionalt (se Crawford 2000).

8.4 Referanser til Vedlegg 1

- Bradley, R.S. & Jones, P.D. 1993. "Little Ice Age" summer temperature variations: their nature and relevance to recent global warming trends. *Holocene* 3: 367-376.
- Crawford, R.M.M. 2000. Ecological hazards of oceanic environments. *New Phytologist* 147: 257-281.
- Grove, J.M. 1988. *The Little Ice Age*. Methuen, London.
- Heimstra, C.A., Liston, G.E. & Reiners, W.A. 2002. Snow redistribution by wind and interactions with vegetation at upper treeline in the Medicine Bow Mountains, Wyoming, U.S.A. *Arctic, Antarctic, and Alpine Research* 34: 262-273.
- Hofgaard, A. 2003. Effects of climate change on the distribution and development of palsa peatlands: background and suggestions for a national monitoring project. NINA Project Report 21. Norsk institutt for naturforskning.
- Houghton, J.T., Meira Filho, L.G., Callander, B.A., Harris, N., Kattenberg, A. & Maskell, K. (red.) 1996. *Climate Change 1995: The Science of Climate Change*. Cambridge University Press, Cambridge.
- Laberge, M.-J. & Payette, S. 1995. Long-term monitoring of permafrost change in a palsa peatland in Northern Québec, Canada: 1983-1993. *Arctic Alpine Research* 27: 167-171.
- Seppälä, M. 1986. The origin of palsas. *Geografiska Annaler* 68 A: 141-147.
- Seppälä, M. 1988. Palsas and related forms. In: Clark, M.J. (ed.), *Advances in periglacial geomorphology*. John Wiley, Chichester. p. 247-278.
- Seppälä, M. 1990. Depth of snow and frost on a palsa mire, Finnish Lapland. *Geografiska Annaler* 72 A: 191-201.
- Seppälä, M. 1997. Distribution of premafrost in Finland. *Bulletin of the geological Society of Finland* 69, part 1: 87-96.
- Seppälä, M. 1998. New permafrost formed in peat hummocks (pounus), Finnish Lapland. *Permafrost and Periglacial Processes* 9: 367-373.
- Sollid, J.L. & Sørbel, L. 1998. Palsa bogs as a climate indicator - examples from Dovrefjell, Southern Norway. *Ambio* 27: 287-291.
- Vorren, K.-D. 1972. Stratigraphical investigations of a palsa bog in Northern Norway. *Astarte* 5: 39-71.
- Vorren, K.-D. 1979. Recent palsa datings, a brief survey. *Norsk Geografisk Tidsskrift* 33: 217-219.
- Zhang, T., Barry, R.G. & Haeberli, W. 1990. Numerical simulations of the influence of the seasonal snow cover on the occurrence of permafrost at high latitudes. *Norsk Geografisk Tidsskrift* 55: 261-266.
- Zoltai, S.C. 1993. Cyclic development of permafrost in the peatlands of Northwestern Alberta, Canada. *Arctic and Alpine Research* 25: 240-246.
- Zuidhoff, F.S. 2002. Recent decay of a single palsa in relation to weather conditions between 1996 and 2000 in Laivadalen, northern Sweden. *Geografiska Annaler* 84 A: 103-111.
- Zuidhoff, F.S. & Kolstrup, E. 2000. Changes in palsa distribution in relation to climate change in Laivadalen, northern Sweden, especially 1960-1997. *Permafrost and Periglacial Processes* 11: 55-69.
- Åhman, R. 1977. Palsar i Nordnorge. *Medd. Lunds Univ. Geografiska Institutionens Avhandlingar* 78.

Norsk institutt for naturforskning, NINA, er en uavhengig stiftelse som forsker på natur og samspillet natur–samfunn.

NINA ble etablert i 1988. Hovedkontoret er i Trondheim, med avdelingskontorer i Tromsø, Lillehammer, Bergen og Oslo. I tillegg driver NINA Sæterfjellet avlsstasjon for fjellrev på Oppdal, og forskningsstasjonen for vill laksefisk på Ims i Rogaland.

NINAs virksomhet omfatter både forskning og utredning, miljøovervåking, rådgivning og evaluering. NINA har stor bredde i kompetanse og erfaring med både naturvitere og samfunnsvitere i staben. Vi har kunnskap om artene, naturtypene, samfunnets bruk av naturen og sammenhenger med de store drivkreftene i naturen.

ISSN:1504-3312
ISBN: 978-82-426-4916-4

Norsk institutt for naturforskning

NINA Hovedkontor

Postadresse: Postboks 5685 Torgarden, 7485 Trondheim

Besøks-/leveringsadresse: Høgskoleringen 9, 7034 Trondheim

Telefon: 73 80 14 00, Telefaks: 73 80 14 01

E-post: firmapost@nina.no

Organisasjonsnummer 9500 37 687

<http://www.nina.no>



Samarbeid og kunnskap for framtidens miljøløsninger